

STRADA STATALE 4 “VIA SALARIA”
Adeguamento della piattaforma stradale e messa in
sicurezza dal km 56+000 al km 64+000
Stralcio 1 da pk 0+000 a pk 1+900

PROGETTO ESECUTIVO

COD.

RM368

PROGETTAZIONE: R.T.I.: PROGER S.p.A. (capogruppo mandataria)
 PROGIN S.p.A.
 S.I.N.A. S.p.A. – BRENG S.r.l.

RESPONSABILE INTEGRAZIONE PRESTAZIONI SPECIALISTICHE:
*Dott. Ing. Antonio GRIMALDI (Progin S.p.A.)
 Ordine degli Ingegneri della Provincia di Napoli n. 23799*

CAPOGRUPPO MANDATARIA:



IL GEOLOGO:
*Dott. Geol. Gianluca PANDOLFI ELMI (Progin S.p.A.)
 Ordine dei Geologi Regione Umbria n. 467*

Direttore Tecnico:
Dott. Ing. Lorenzo INFANTE

IL COORDINATORE PER LA SICUREZZA IN FASE DI PROGETTAZIONE:
Dott. Ing. Michele CURIALE (Progin S.p.A.)



VISTO: IL RESPONSABILE UNICO DEL PROGETTO
Dott. Ing. Paolo NARDOCCI



PROTOCOLLO

DATA

202


TRINCEE

Trincea in sx da pk 0+709 a pk 0+850

CODICE PROGETTO		NOME FILE						REVISIONE	SCALA:									
		T01OM02STRRE01C																
<input type="checkbox"/> D <input type="checkbox"/> P <input type="checkbox"/> R <input type="checkbox"/> M <input type="checkbox"/> 3 <input type="checkbox"/> 6 <input type="checkbox"/> 8 <input type="checkbox"/> E <input type="checkbox"/> 2 <input type="checkbox"/> 3		CODICE ELAB.	T	0	1	0	M	0	2	S	T	R	R	E	0	1	<input type="checkbox"/> C	-
C	Emissione a seguito istruttoria ANAS e validazione		Febbraio 2024		Furlani		D'Alterio		L. Infante									
B	Emissione a seguito istruttoria ANAS		05-2023		Furlani/Gasperoni		D'Alterio		L. Infante									
A	Prima emissione		09-2022		Furlani/Gasperoni		D'Alterio		L. Infante									
REV.	DESCRIZIONE		DATA		REDATTO		VERIFICATO		APPROVATO									

Sommario

1 PREMESSA	1
2 NORMATIVA E DOCUMENTI DI RIFERIMENTO	3
2.1 Normativa di riferimento	3
2.2 Documenti di riferimento	3
2.3 Programmi di calcolo	3
3 INQUADRAMENTO GEOTECNICO.....	4
3.1 Caratterizzazione geomeccanica	4
3.2 Rappresentazione stereografica	7
4 ANALISI DI STABILITÀ	9
4.1 Metodologie di calcolo verifica di stabilità	9
4.2 Azioni sismiche per analisi di stabilità	11
4.3 Sezione di calcolo	12
4.4 Risultati	12
5 APPENDICE A	16
5.1 Analisi statica	16
5.2 Analisi sismica	26

1 PREMESSA

La revisione in oggetto è emessa per riscontro ai commenti di istruttoria Anas e validazione (IT22009AR-004-SP-0006-0 del 19/11/2023 ITS Controlli Tecnici SpA).

Nell’ambito della progettazione definitiva dell’intervento di adeguamento della piattaforma stradale e messa in sicurezza dal km 56+000 al km 64+000 della Strada Statale 12 “via Salaria” – Stralcio 1 (dal km 0+000 al km 1+900) è prevista la realizzazione di diverse trincee costituite da sezioni di scavo gradonate su più banche.

La presente relazione riguarda la trincea OM02 prevista in sinistra tra il km 0+709 e il km 0+850, che si sviluppa per circa 140 m.

Ogni taglio subverticale ha una pendenza 10/3 mentre le banche, di larghezza pari a 4 m, vengono previste ogni 10 m di scavo. Nel caso in esame si configura un’altezza massima di scavo di circa 27.5 m con l’inserimento di 2 banche intermedie (vedasi figura seguente).

Sul primo taglio subverticale vengono previsti dreni suborizzontali ed un pannello costituito da un traliccio e rivestito superficialmente da pietra.

Nella configurazione finale il sistema di protezione si presta ad ospitare inerbimenti e vegetazione spontanea minimizzando l’impatto visivo dello scavo (in Figura 2 una rappresentazione indicativa dell’inserimento ambientale).

Nel seguito dopo, dopo un breve richiamo delle condizioni geotecniche, si espongono le analisi e le verifiche di stabilità condotte in conformità alla normativa vigente (DM 2018).

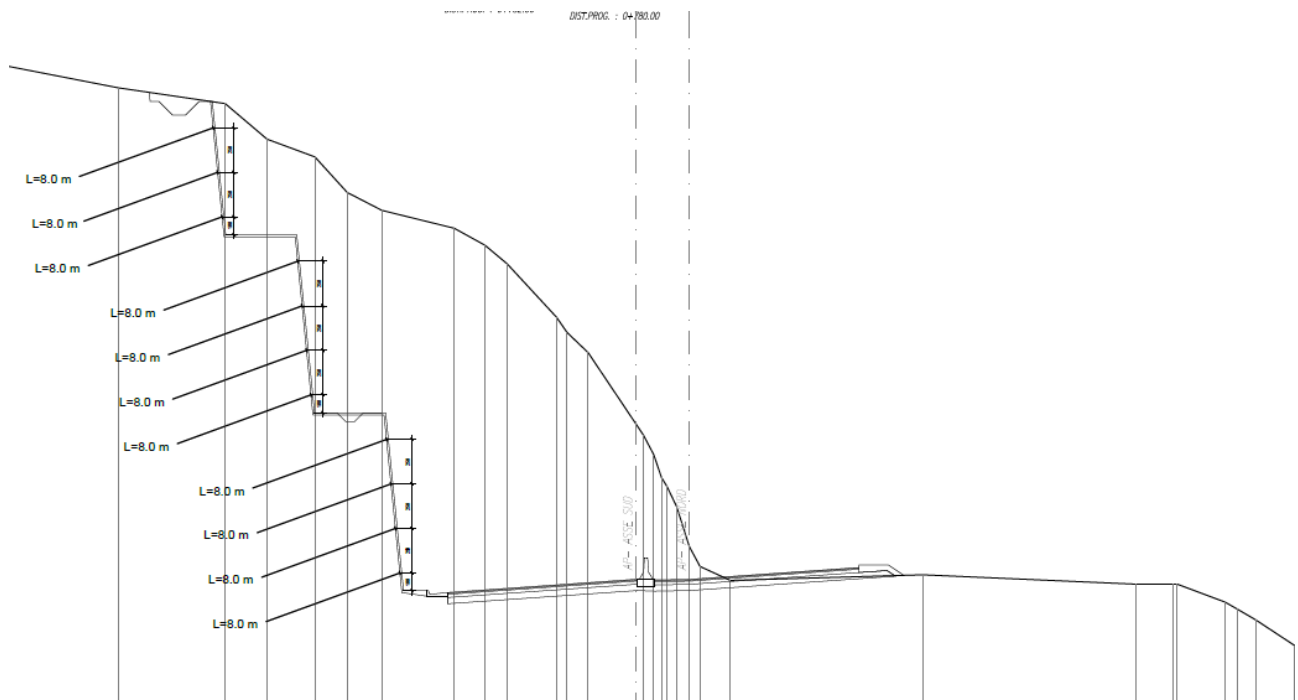


Figura 1 – Sezione OM02



Figura 2 – Configurazione finale delle trincee (schema illustrativo)

2 NORMATIVA E DOCUMENTI DI RIFERIMENTO

2.1 Normativa di riferimento

[N.1]. Norme Tecniche per le Costruzioni - D.M. 17-01-18 (NTC-2018) e Circolare Applicativa.

2.2 Documenti di riferimento

I documenti presi a riferimento per la stesura del presente elaborato sono i seguenti.

- [N.2]. T01GE01 GEO RE01 – Relazione geologica.
- [N.3]. T01GE01 GEO CG01÷02 – Carta geologica.
- [N.4]. T01GE04 GEO SZ01 – Sezioni geologiche.
- [N.5]. T01GE01 GEO FG01 – Profilo geologico.
- [N.6]. T01GE01 GEO RE01 – Relazione geotecnica generale.
- [N.7]. T01GE02 GEO FG01÷02 – Profilo geotecnico.
- [N.8]. T01GE02 GEO SZ01÷03 – Sezioni geotecniche.
- [N.9]. T01GE01 GEO RE02 – Relazione geostrutturale e geomecanica.

2.3 Programmi di calcolo

Nella redazione del presente documento sono stati utilizzati i seguenti programmi di calcolo:

- RocLab – Il programma, prodotto da Rocscience, è stato adottato per valutare i parametri geomecanici della formazione rocciosa.
- Slide 7” - Il programma di calcolo, prodotto da Rocscience, è stato adottato per le verifiche di stabilità.

Per i programmi citati, con riferimento al paragrafo 10.2 del D.M. 14.01.2018 e relativa Circolare esplicativa, si dichiara che:

- i risultati dei calcoli eseguiti con l'utilizzo del calcolatore sono stati verificati dal progettista;
- i risultati presentati nelle forme indicate al progetto ne garantiscono la leggibilità, la corretta interpretazione e la riproducibilità;
- l'affidabilità dei codici utilizzati è stata verificata attraverso esame preliminare, di valutazione dell'affidabilità e soprattutto dell'idoneità del programma nel caso specifico di applicazione;
- la validazione dei codici di calcolo è stata verificata sia per confronto con soluzioni semplificate con metodi tradizionali, sia dall'esame della documentazione fornita dal produttore/distributore sulle modalità e procedure seguite per la validazione generale del codice.

3 INQUADRAMENTO GEOTECNICO

3.1 Caratterizzazione geomeccanica

Nel profilo stratigrafico longitudinale e nelle sezioni geotecniche sono riportati in forma grafica i risultati delle indagini e sono mostrate le correlazioni stratigrafiche con indicazione delle unità geotecniche intercettate; è anche indicato il livello di falda massimo rilevato da letture piezometriche ed il livello di falda di progetto.

Le scarpate di scavo sono previste generalmente nella formazione dei calcari marnosi della scaglia rossa (unità SR).

Tale scarpata è in condizione di traversopoggio, con inclinazione massima degli strati di 27° e inclinazione apparente di 14°.

Nella seguente figura si riporta la sezione geologica rappresentativa con la rappresentazione delle discontinuità rilevate in situ.

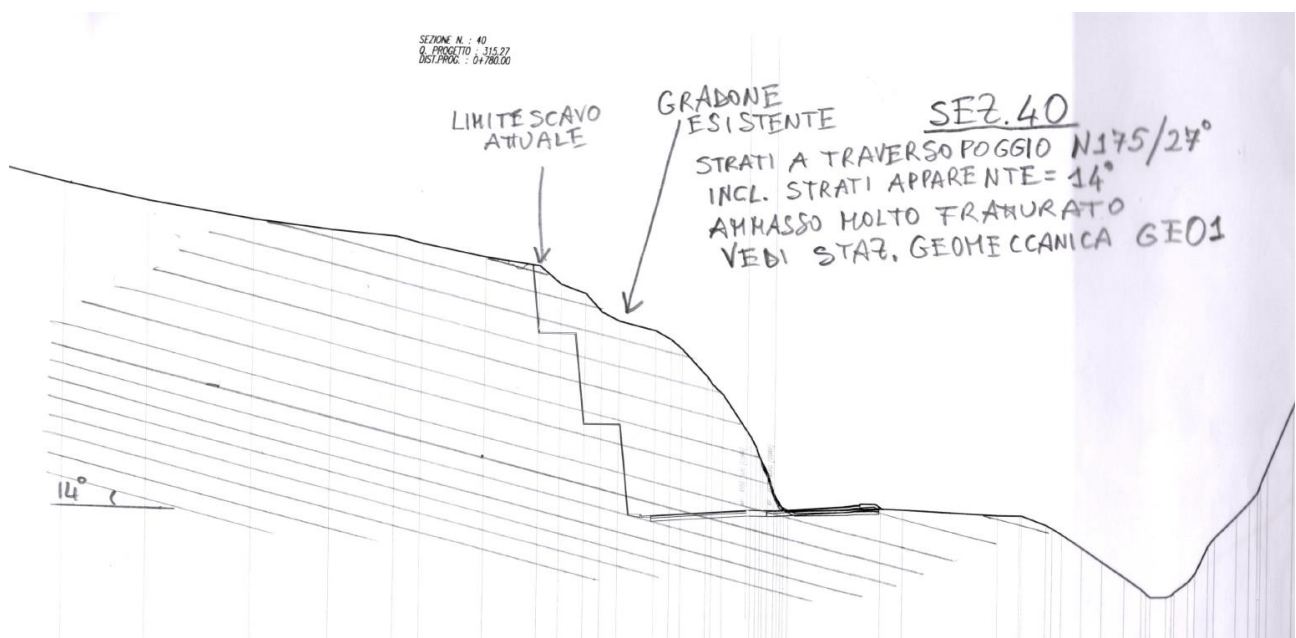


Figura 3 – Sezione geomeccanica OM02

Le caratteristiche dell’ammasso roccioso sono state determinate nella Relazione Geotecnica Generale, alla quale si rimanda per gli approfondimenti nel caso.

Per la definizione dei parametri geomeccanici di progetto si è eseguita una analisi con il programma “RocLab (Rocscience)” considerando criterio di rottura di Hoek e Brown (2002) ed i parametri geomeccanici desunti dalle indagini più vicine (GSI, σ_c).

In particolare, per i depositi rocciosi in esame si è assunto:

- $m_i = 8$,
- $MR = 900$ da cui $E_i = MR * \sigma$ $MR = 900$ da cui $E_i = MR * \sigma_c$; si è comunque verificato che i valori di modulo di deformazione così ottenuti sono in linea con quelli misurati con le prove di compressione di laboratorio eseguite con misura delle deformazioni (vedasi report laboratorio campagna 2021).
- un coefficiente di disturbo relativo allo scavo $D = 0.7$ (assunzione cautelativa in considerazione del fatto che la scarpata è soggetta ad operazioni di scavo che creano comunque disturbo)..

Per l'opera in esame si sintetizzano di seguito le indagini di riferimento ed i parametri utili per la caratterizzazione geomeccanica: valore di GSI e resistenza a compressione monoassiale media e decimo percentile. Relativamente alla compressione monoassiale è stato dato maggior peso alle prove di laboratorio in quanto più cautelative oltre che di maggiore qualità ed affidabilità rispetto alle misurazioni in situ fatte nelle stazioni geomeccaniche mediante misure sclerometriche.

Tabella 1 – Indagini di riferimento e valori di GSI e resistenza a compressione monoassiale – OM02

ID MS.TR	progressive		CARREGGIATA	N. SEZIONE	INDAGINI	GSI	σ_c ,media [MPa]	σ_c ,10% [MPa]
	inizio	fine						
MS.TR.02.S	0+709	0+850	SUD	40 pk 0+780	GE01	36	49	30

Di seguito si riportano i range dei parametri geomeccanici individuati con “RocLab (Rocscience)” considerando il criterio di rottura di Hoek e Brown (2002), per una profondità di riferimento dello scavo H = 20 m. Il valore di σ_c medio individua il limite superiore del range, mentre il decimo percentile individua il limite inferiore.

Nelle figure a seguire sono mostrati i dati di input ed i risultati del programma “RocLab (Rocscience)”.

Unità SR (calcare marnoso)

$$\gamma = 25 \text{ kN/m}^3$$

peso di volume naturale

$$c' = 109 \div 137 \text{ (120) kPa}$$

coesione drenata (valore centrale)

$$\varphi' = 37^\circ \div 41^\circ \text{ (39)}$$

angolo di resistenza al taglio (valore centrale)

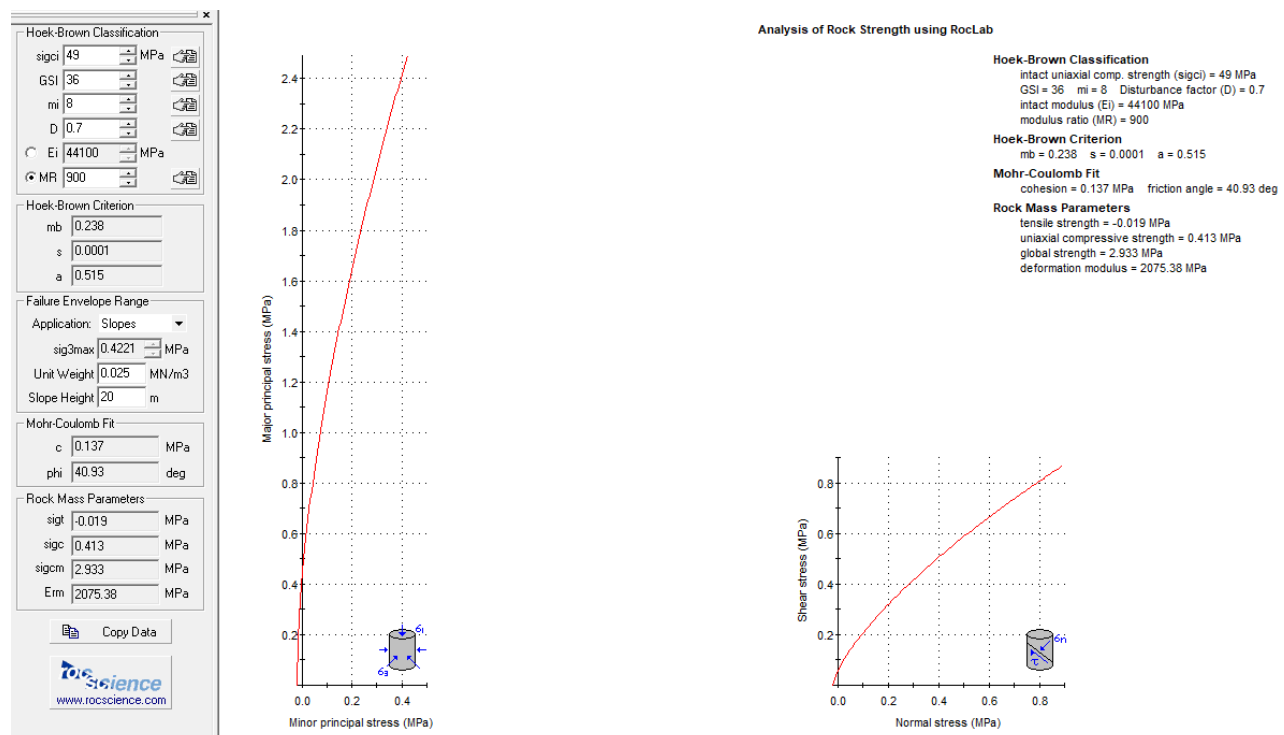


Figura 4 – Parametri di resistenza – OM02 ($\sigma_c=49$ MPa)

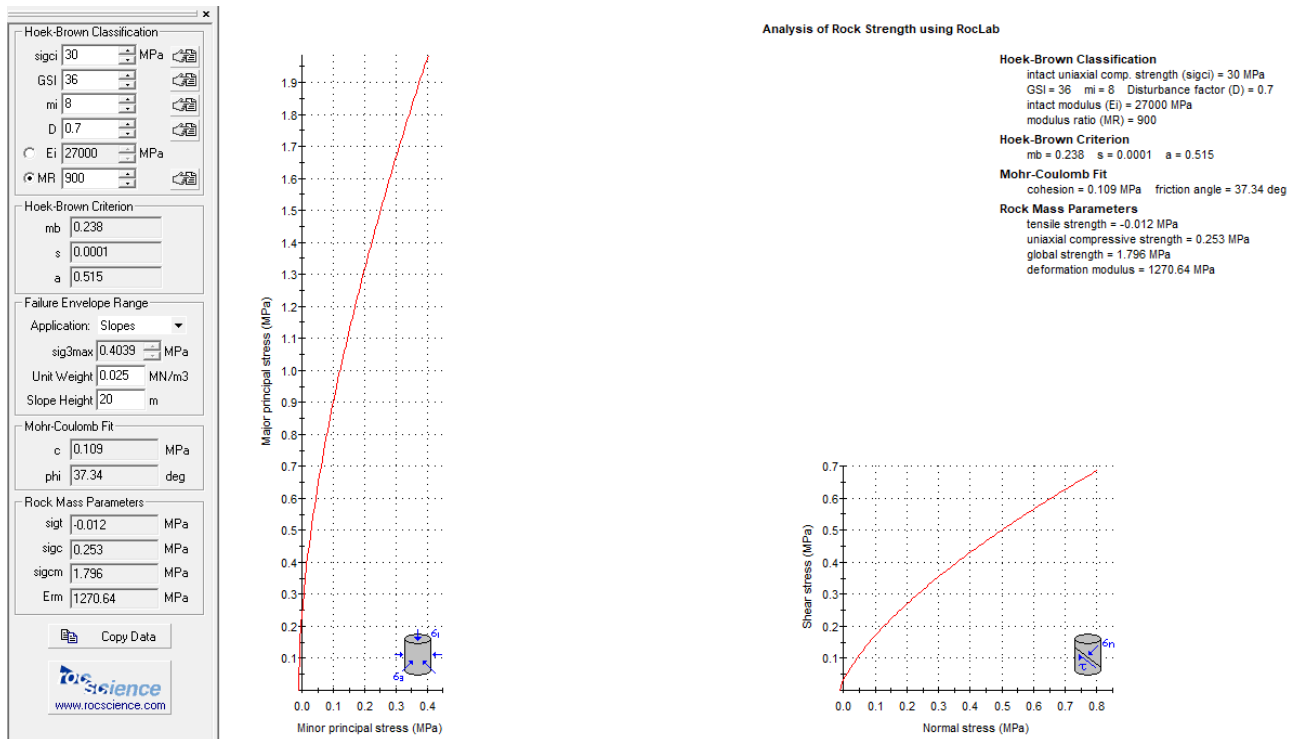


Figura 5 – Parametri di resistenza – OM02 ($\sigma_c=30$ MPa)

Trattandosi di fratture disposte a traverso poggio, la cinematica traslativa lungo i piani di frattura esistenti può essere esclusa a priori. Pertanto, la stabilità della scarpata è principalmente governata dalla resistenza della roccia a livello di ammasso, determinata mediante il criterio di Hoek e Brown (2002), come dettagliatamente documentato nella Relazione Geotecnica Generale alla quale si rimanda.

Nel seguito si è fatta la scelta sicuramente cautelativa di introdurre un criterio di resistenza anisotropo implementato all'interno del programma Slide e chiamato Anisotropic Linear, che consente di definire piani di debolezza lungo i quali considerare una resistenza inferiore a quella dell'ammasso e attribuibile alle fratture.

La resistenza allo scorrimento che si ha lungo le fratture può essere descritta mediante il criterio proposto da Barton & Choubey:

$$\tau = \sigma_n \tan \left[\phi_b + JRC \cdot \log \left(\frac{JCS}{\sigma_n} \right) \right]$$

in cui JRC descrive le caratteristiche di scabrezza e JCS la resistenza intrinseca delle asperità e viene espresso come resistenza a compressione monoassiale della porzione rocciosa lungo la discontinuità. L'angolo di resistenza di base, ϕ_b , è rappresentativo delle superfici di roccia artificiali lisce, e per la maggior parte delle rocce varia tra 25-35°, e quindi notevolmente inferiore all'angolo di attrito interno delle rocce, con il quale non deve essere confuso.

Nel caso in esame si è cautelativamente considerato $JRC = 8$, $JCS = 30$ MPa, $\phi_b = 25^\circ$. Il criterio sopra descritto, opportunamente linearizzato nell'ambito delle tensioni di confinamento di interesse progettuale, porta a determinare parametri di resistenza al taglio Mohr-Coulomb equivalenti, valutati nell'intervallo tensionale $0 < \sigma_n < 1000$ KPa:

$$c' = 0 \text{ kPa}$$

$\varphi' = 50^\circ - 40^\circ$ decrescenti al crescere della tensione di confinamento

Nel seguito si è scelto di usare il valore minimo dell'angolo di resistenza al taglio, quindi $\varphi' = 40$.

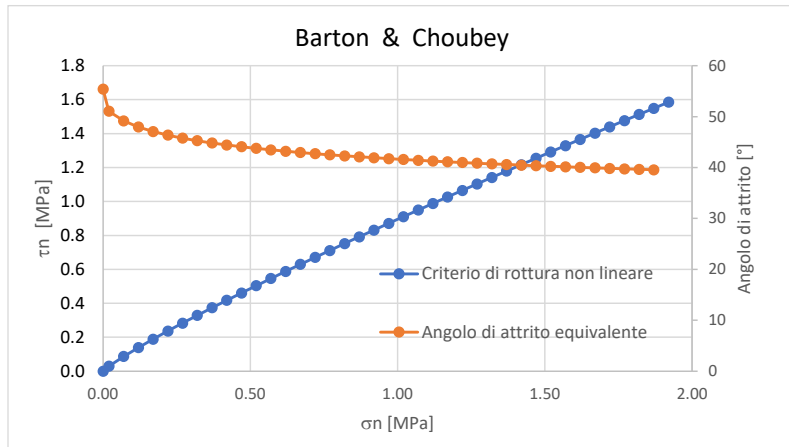


Figura 6 – Criterio di Barton & Choubey e angolo di attrito equivalente in funzione dello stato tensionale

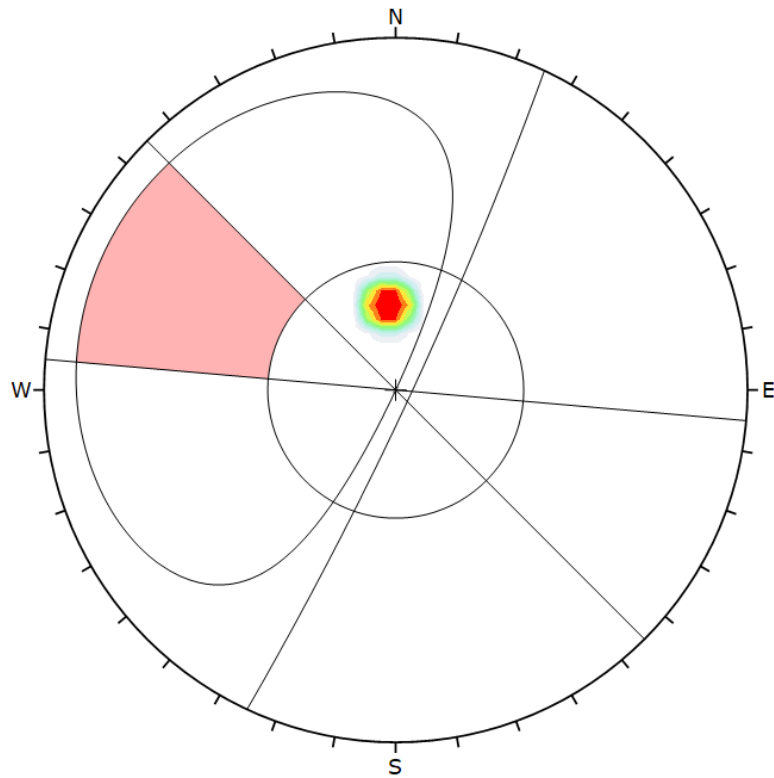
3.2 Rappresentazione stereografica

Di seguito si riporta la rappresentazione stereografica del sistema frattura-parete di scavo.

Si richiamano i dati geometrici che identificano l'orientamento dei piani:

- Frattura: N175/27°
- Parete di scavo: N115/85°

Come si osserva dall'immagine seguente, il polo della frattura cade fuori dall'area di possibile scivolamento planare.



Color	Density Concentrations		
	0.00	- 9.90	
	9.90	- 19.80	
	19.80	- 29.70	
	29.70	- 39.60	
	39.60	- 49.50	
	49.50	- 59.40	
	59.40	- 69.30	
	69.30	- 79.20	
	79.20	- 89.10	
	89.10	- 99.00	
Maximum Density	98.32%		
Contour Data	Pole Vectors		
Contour Distribution	Fisher		
Counting Circle Size	1.0%		
Kinematic Analysis	Planar Sliding		
Slope Dip	85		
Slope Dip Direction	115		
Friction Angle	40°		
Lateral Limits	20°		
	Critical	Total	%
Planar Sliding (All)	0	1	0.00%
Plot Mode	Pole Vectors		
Vector Count	1 (1 Entries)		
Hemisphere	Lower		
Projection	Equal Angle		

Figura 7 – Rappresentazione stereografica

4 ANALISI DI STABILITÀ'

4.1 Metodologie di calcolo verifica di stabilità

La valutazione dei fattori di sicurezza alla stabilità viene condotta mediante il codice di calcolo SLIDE 7.0, in cui la ricerca delle superfici critiche viene svolta attraverso la generazione automatica di un elevato numero di superfici di potenziale scivolamento. Il coefficiente di sicurezza a rottura lungo la superficie di scorrimento viene definito come rapporto tra la resistenza al taglio disponibile lungo la superficie e quella effettivamente mobilitata lungo la stessa superficie:

$$FS = \frac{\int \tau_{\text{disp}}}{\int \tau_{\text{mob}}} \quad \text{coefficiente di sicurezza}$$

In conformità alla normativa vigente l'analisi di stabilità globale deve svolgersi agli SLU: A2+M2+R2.

Secondo la normativa quindi i parametri di resistenza del terreno devono essere abbattuti a mezzo dei coefficienti parziali di seguito riportati.

$$\gamma_\phi = 1.25 \quad \text{coefficiente parziale per l'angolo di resistenza al taglio}$$

$$\gamma_c = 1.25 \quad \text{coefficiente parziale per la coesione drenata}$$

L'analisi viene quindi condotta con i seguenti parametri geotecnici di calcolo:

$$\tan(\phi'd) = \tan(\phi'k) / \gamma\phi \quad \text{angolo di resistenza al taglio}$$

$$c'd = c'k / \gamma_c \quad \text{coesione drenata}$$

Il coefficiente di sicurezza minimo per le verifiche di sicurezza di opere di materiali sciolti e fronti di scavo è pari ad 1.1 (γ_R) in condizioni SLU statiche, quindi il fattore di sicurezza alla stabilità da verificare è $FS \geq 1.1$.

Come già detto, si è utilizzato un criterio di resistenza denominato Anisotropic Linear, che consente di definire piani di debolezza lungo i quali considerare una resistenza inferiore a quella dell'ammasso e attribuibile alle fratture. In particolare si è considerata una direzione pari a quella rilevata durante i rilievi geomeccanici, considerando un fascio di +/- 5°. Le superfici che si posizionano in tale fascio sono caratterizzate con i parametri di resistenza delle fratture: $c'=0$ kPa $\phi'=40^\circ$, determinati come indicato al paragrafo 3.2.

Si rimarca che tale modo di procedere è una scelta di calcolo cautelativa, in quanto trattandosi di inclinazione a traverso poggio, la cinematica planare di slittamento può essere esclusa a priori.

Per le verifiche di stabilità in presenza di scarpate con chiodature, il programma SLIDE consente di usare l'opzione “Support” in cui i singoli chiodi sono modellati come “soil nail”, a cui viene assegnata la forza limite dell'acciaio, la forza limite allo sfilamento, l'interasse chiodi. Nel caso in esame le chiodature sono realizzate con barre diametro 25 mm (resistenza minima allo snervamento di 500 MPa ed a rottura di 550 MPa), diametro di perforazione ≥ 60 mm.

I valori della resistenza tangenziale, s , all'interfaccia chiodo cementato e roccia dipendono sia dalla natura e dalle caratteristiche della roccia, sia dalla tecnologia esecutiva, e vengono ricavati dai seguenti abachi sperimentali che sono il frutto di numerose sperimentazioni effettuate in scala reale (Bustamante & Doix). Nella seguente figura si riporta l'abaco proposto dagli autori per le rocce fratturate, ove la curva R1 identifica la tecnologia IRS e la curva R2 identifica la

tecnologia IGU. Le prove pressiomeriche disponibili hanno misurato valori della pressione limite $\text{plim} = 5.0\text{-}9.0 \text{ MPa}$. Considerando cautelativamente il limite inferiore di plim e la tecnologia IGU si ottiene una resistenza $s = 550 \text{ kPa}$ al quale va associato il coefficiente di maggiorazione $\alpha = 1.10$ (vedasi figura Figura 8). Pertanto, la resistenza limite vale: $\alpha\tau_{\text{lim}} = s \cdot \alpha = 550 \cdot 1.10 \approx 600 \text{ kPa}$.

Nei calcoli si è prudenzialmente limitato il valore della resistenza limite a:

$$\alpha\tau_{\text{lim}} = 400 \text{ kPa.}$$

In base alle caratteristiche delle chiodature i dati di input del calcolo sono i seguenti:

$F_s = 213 \text{ kN}$ forza assiale limite acciaio (area barra 491 mm^2), resistenza di progetto strutturale della barra

$F_f = (\pi \cdot D_p \cdot \alpha \tau \cdot L) / F_s = 279 \text{ kN}$ resistenza allo sfilamento di progetto della barra

$D_p = 60 \text{ mm}$ diametro di perforazione di calcolo

$\alpha \tau = 400 \text{ kPa}$ tensione di adesione fondazione-terreno per unità SR

$FS = \gamma_R \cdot \xi_3 = 1.2 \cdot 1.8 = 2.16$ fattori parziali da normativa per tiranti permanenti ed una verticale di indagine

$L = 8.0 \text{ m}$ lunghezza barra per tutte le scarpate in unità SR

$B = 279 / 8 = 35 \text{ kN/m}$ forza a metro di barra (Bond Strength)

Interasse = 2.5 m.

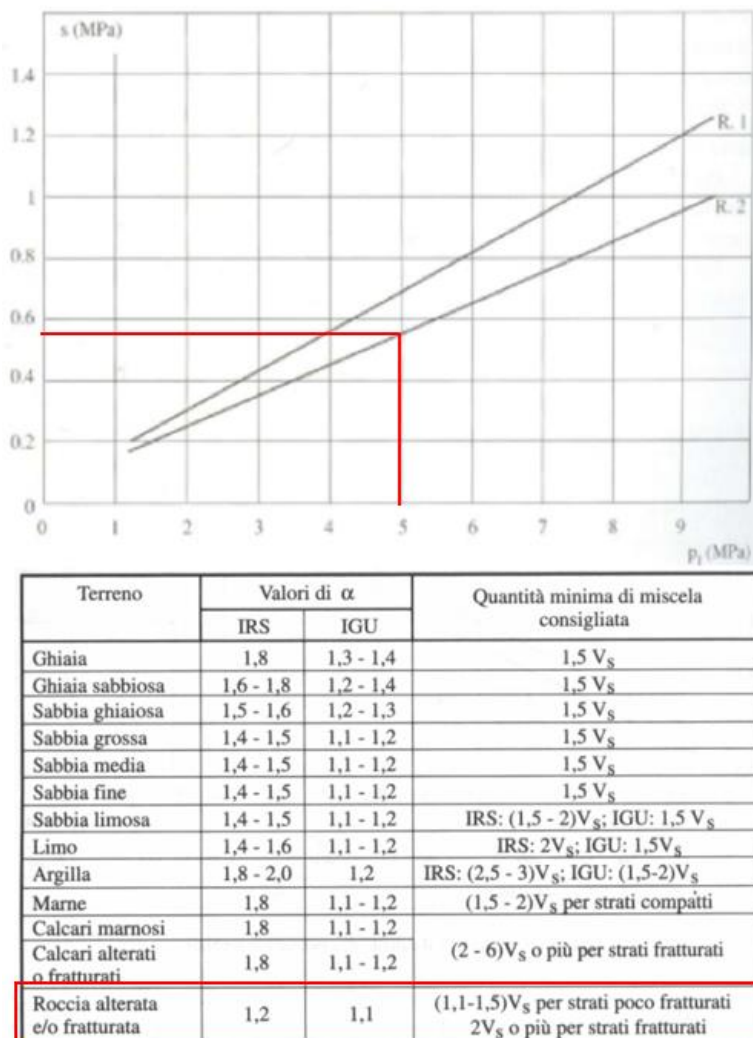


Figura 8 – Resistenze suggerite da Bustamante & Doix per terreni rocciosi (R.2=IGU)

4.2 Azioni sismiche per analisi di stabilità

In generale, il metodo pseudo-statico modella l'azione sismica considerando in luogo delle azioni dinamiche azioni statiche equivalenti ovvero forze statiche orizzontali f_h e verticali f_v per unità di volume, d'intensità pari al prodotto fra il peso specifico del corpo γ sottoposto all'azione dinamica ed un coefficiente sismico:

$$f_h = \gamma \cdot k_h \quad \text{forza orizzontale per unità di volume}$$

$$f_v = \gamma \cdot k_v \quad \text{forza verticale per unità di volume}$$

dove:

$$\gamma = \text{peso specifico del volume considerato.}$$

In accordo alla normativa vigente per le analisi in esame, la componente orizzontale (ah) dell'accelerazione può essere legata all'accelerazione massima attraverso la seguente relazione:

$$k_h = \beta_s \cdot a_{\max} / g$$

$$k_v = \pm k_h / 2$$

dove:

k_h = coefficiente sismico in direzione orizzontale;

k_v = coefficiente sismico in direzione verticale;

β_s = coefficiente di riduzione che dipende dall’accelerazione massima e dalla categoria di suolo. Per le analisi di stabilità sismiche SLV di fronti di scavo e rilevati (paragrafo 7.11.4 NTC 2018), il coefficiente di riduzione dall’accelerazione massima attesa al sito va assunto pari a $\beta_s = 0.38$ per le verifiche allo SLV.

Per le opere in esame si considera un’accelerazione in sito $a_{max} = ag * Ss * St = 0.204 * 1.0 * 1.4 = 0.285g$, quindi si ha:

$$k_h = \beta_s \cdot a_{max} / g = 0.38 \cdot 0.28 = 0.109$$

$$k_v = \pm k_h / 2 = \pm 0.055$$

4.3 Sezione di calcolo

È stata analizzata le seguente sezione rappresentativa in relazione alla massima altezza di scavo ed al modello geomeccanico di riferimento.

- Sezione 40 al km 0+780 carreggiata sud in unità SR

Si assumono i seguenti parametri caratteristici per la caratterizzazione geotecnica dell’ammasso roccioso; nelle analisi i cui risultati sono esposti nel successivo paragrafo, i parametri geotecnici caratteristici sono stati opportunamente fattorizzati con i coefficienti parziali come richiesto dalle specifiche verifiche da NTC 2018 per le condizioni statiche SLU e sismiche SLV.

Unità SR (calcari marnosi)

$\gamma = 25\text{kN/m}^3$ peso di volume naturale

$c' = 120 \text{ kPa}$ coesione drenata

$\phi' = 39$ angolo di resistenza al taglio

i parametri di resistenza delle fratture: $c'=0 \text{ kPa}$ $\phi'=40^\circ$ (paragrafo 3.2).

Nelle figure seguenti la linea blu indica il livello falda, che cautelativamente è inserito nel pendio ma non interferisce con le scarpate di scavo.

4.4 Risultati

Nelle seguenti figure sono mostrati i risultati delle verifiche di stabilità della scarpata di scavo definitiva sia in condizioni statiche SLU che sismiche SLV (eseguite considerando $\pm k_v$, di seguito si riporta la condizione più gravosa). Per l’analisi statica sono state inserite più figure per la stessa analisi in quanto sono stati inseriti diversi intervalli di ricerca delle superfici di scorrimento per individuare tutti i possibili meccanismi.

I fattori di sicurezza minimi ottenuti dalle verifiche sono sempre maggiori di quanto prescritto da normativa ($\gamma_R \geq 1.1$ per le analisi statiche SLU e $\gamma_R \geq 1.2$ per le analisi sismiche SLV); quindi le verifiche di stabilità sono sempre soddisfatte.

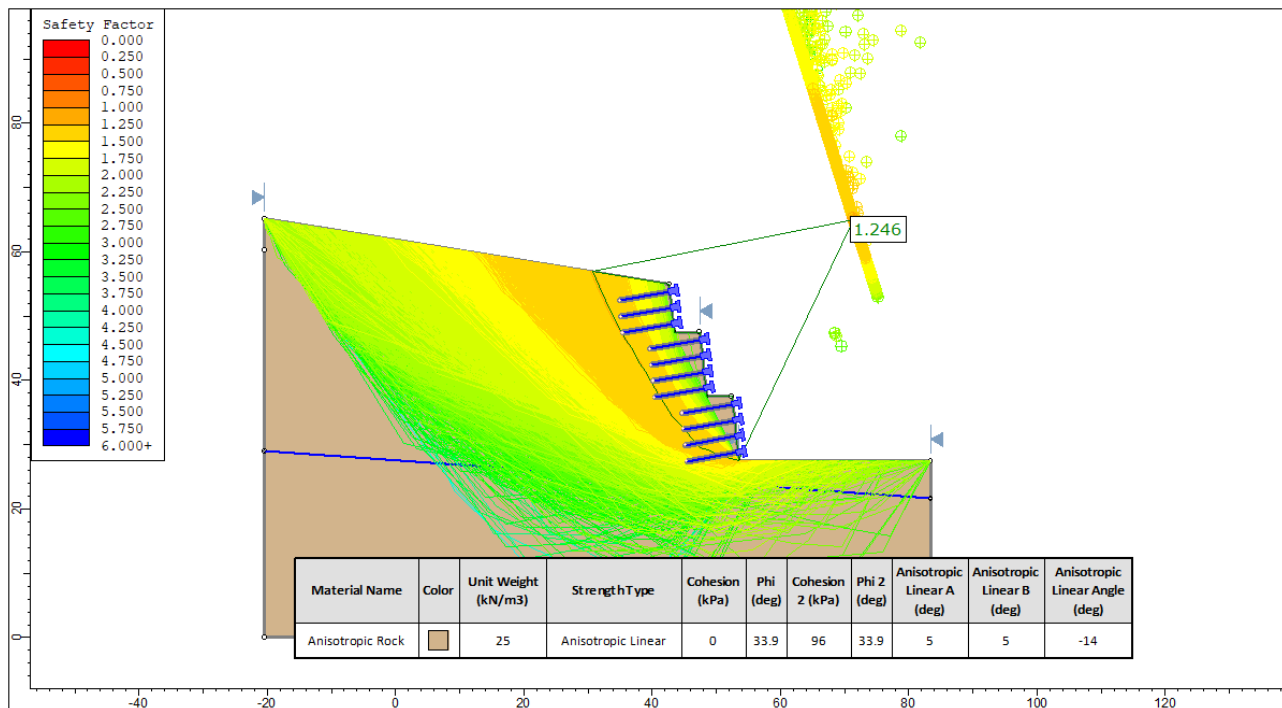
La resistenza delle barre viene inserita all’interno del programma Slide. Quando una superficie di rottura generata dal programma intercetta la barra, il programma applica automaticamente la forza stabilizzante determinata come il valore minimo tra la resistenza strutturale della barra ($N_yd = 213 \text{ kN}$) e la resistenza a sfilamento determinata in funzione della

lunghezza della barra ancorata nella zona stabile. Quindi la verifica strutturale della barra è automaticamente soddisfatta all'interno della procedura del programma di calcolo, in quanto ne limita la resistenza stabilizzante massima disponibile. In Figura 11 si determinano le massime forze stabilizzanti esercitate dalle chiodature per tutte le superficie di rottura, in Figura 12 si riportano le forze relative alla superficie di rottura con coefficiente di sicurezza minimo. Il valore massimo vale 56 kN/m, che moltiplicato per l'interasse di progetto delle barre pari a 2.5 m, restituisce un carico massimo di progetto pari a 140 kN, risultando:

$$R_d = 213 \text{ kN} > 140 \text{ kN} = N_d$$

La verifica è soddisfatta.

In Appendice A si riportano i tabulati delle analisi.



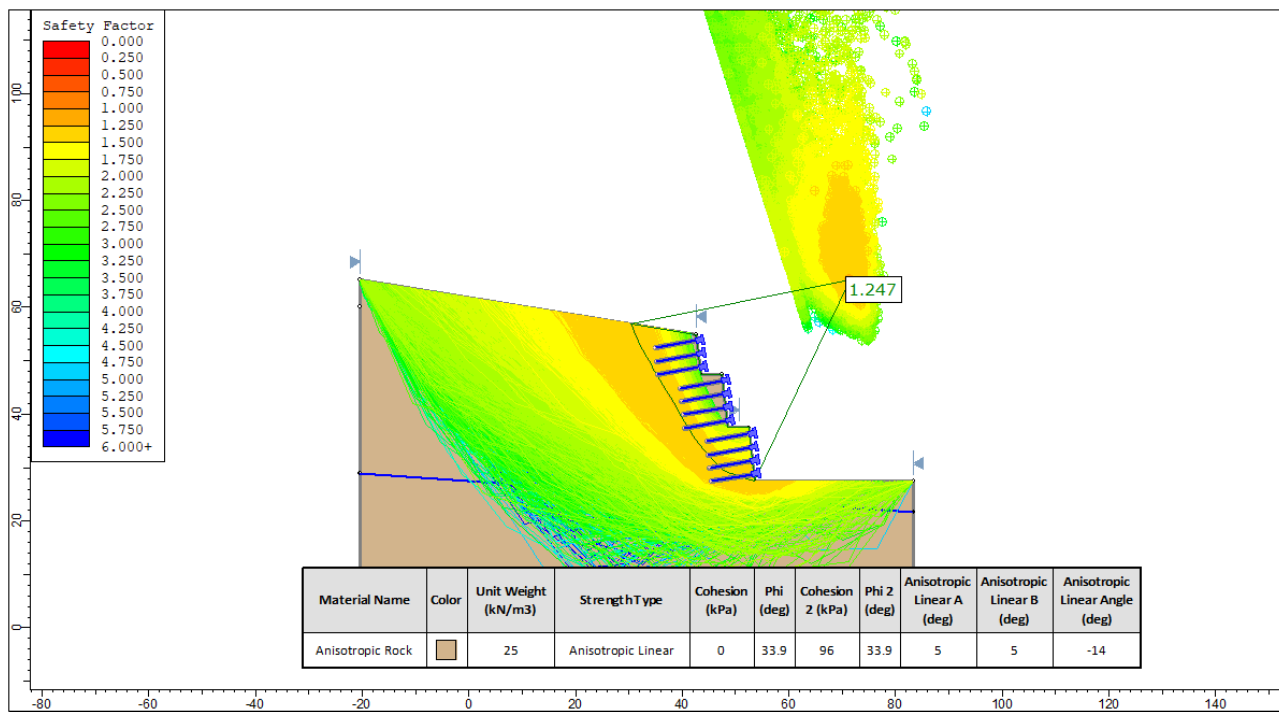


Figura 9 – Sezione 40 al km 0+780 carr. sud - Analisi statica SLU

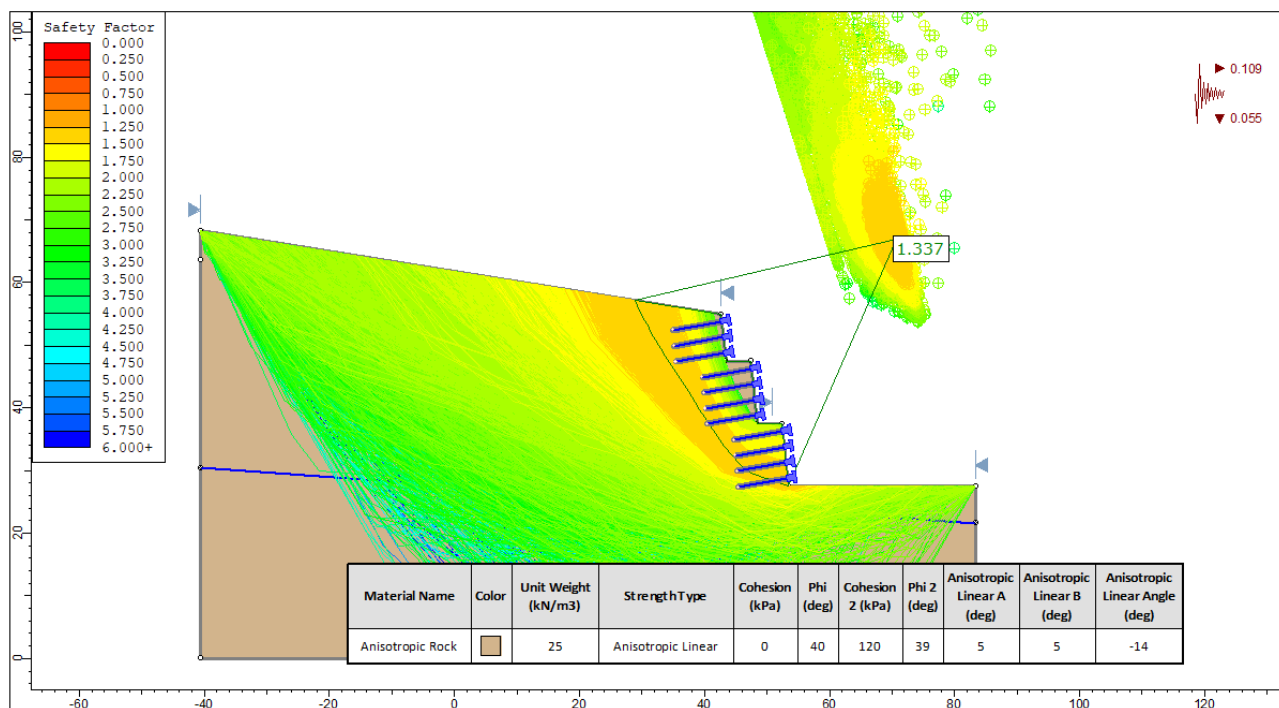


Figura 10 – Sezione 40 al km 0+780 carr. sud - Analisi sismica SLV (kv+)

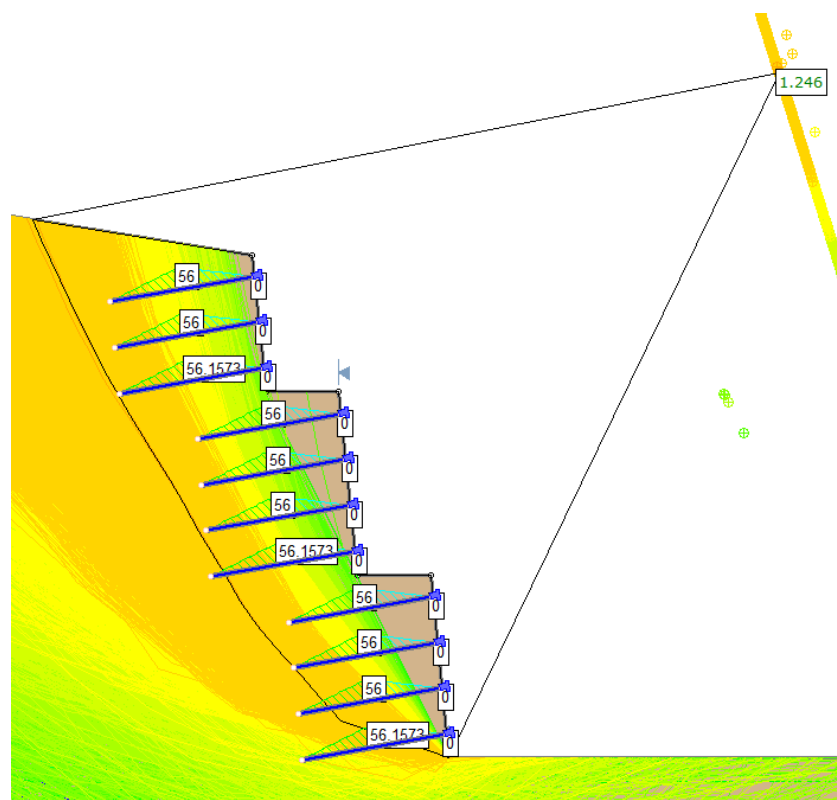


Figura 11 –Forze chiodature per tutte le superfici di rottura

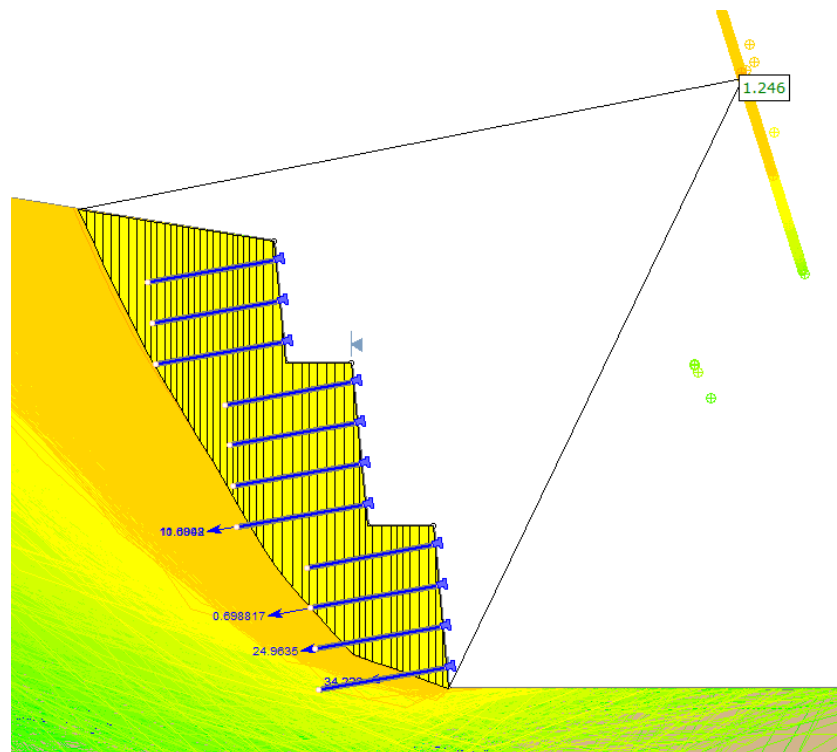


Figura 12 –Forze chiodature per superficie critica

5 APPENDICE A

5.1 Analisi statica

Slide Analysis Information

sez.40statica

Project Summary

File Name:	sez.40statica.slmd
Slide Modeler Version:	8.021
Project Title:	SLIDE - An Interactive Slope Stability Program
Date Created:	02/10/2017, 09:00:02

Currently Open Scenarios

Group Name	Scenario Name	Global Minimum	Compute Time
	Anisotropic_Statica SLU_01	Bishop Simplified: 1.246980	00h:00m:03.462s
Rinforzi	Anisotropic_Statica SLU_02	Bishop Simplified: 1.246250	00h:00m:02.711s

General Settings

Units of Measurement:	Metric Units
Time Units:	days
Permeability Units:	meters/second
Data Output:	Standard
Failure Direction:	Left to Right

Analysis Options

All Open Scenarios	
Slices Type:	Vertical
Analysis Methods Used	
	Bishop simplified
Number of slices:	50
Tolerance:	0.005
Maximum number of iterations:	75
Check malpha < 0.2:	Yes
Create Interslice boundaries at intersections with water tables and piezos:	Yes
Initial trial value of FS:	1
Steffensen Iteration:	Yes

Groundwater Analysis

All Open Scenarios	
Groundwater Method:	Water Surfaces
Pore Fluid Unit Weight [kN/m ³]:	9.81
Use negative pore pressure cutoff:	Yes
Maximum negative pore pressure [kPa]:	0
Advanced Groundwater Method:	None

Random Numbers

All Open Scenarios	
Pseudo-random Seed:	10116
Random Number Generation Method:	Park and Miller v.3

Surface Options

All Open Scenarios	
Search Method:	Cuckoo Search
Initial # of Surface Vertices:	8
Maximum Iterations:	500
Number of Nests:	50
Minimum Elevation:	Not Defined
Minimum Depth:	Not Defined
Minimum Area:	Not Defined
Minimum Weight:	Not Defined
Convex Surfaces Only:	Enabled

Seismic Loading

All Open Scenarios	
Advanced seismic analysis:	No
Staged pseudostatic analysis:	No

Materials

Property	SRa	SR_	Anisotropic Rock
Color			
Strength Type	Mohr-Coulomb	Mohr-Coulomb	Anisotropic Linear
Unit Weight [kN/m ³]	24	24.5	25
Cohesion [kPa]	36	200	
Friction Angle [°]	33.9	41.6	
Cohesion 1 [kPa]		0	
Cohesion 2 [kPa]		96	
Friction Angle 1 [°]		33.9	
Friction Angle 2 [°]		33.9	
A [°]		5	

B [°]	5
Anisotropic Definition	Angle
Angle from 1 [°]	-14
Anisotropic Surface	
Water Surface	Assigned per scenario
Hu Value	1
	Assigned per scenario
	Assigned per scenario

Materials In Use

Material	Anisotropic_Statica SLU_01	Anisotropic_Statica SLU_02
Anisotropic Rock		

Support

Support 1

- Support Type: Soil Nail
- Force Application: Active
- Force Orientation: Parallel to Reinforcement
- Out-of-Plane Spacing: 2.5 m
- Tensile Capacity: 213 kN
- Plate Capacity: 0 kN
- Bond Strength: 35 kN/m

Global Minimum

Rinforzi - Anisotropic_Statica SLU_01	Rinforzi - Anisotropic_Statica SLU_02
Method: bishop simplified	Method: bishop simplified
FS	1.246980
Axis Location:	71.389, 65.174
Left Slip Surface Endpoint:	30.453, 56.920
Right Slip Surface Endpoint:	53.430, 27.474
Resisting Moment:	241688 kN-m
Driving Moment:	193818 kN-m
Active Support Moment:	-3429.74 kN-m
Maximum Single Support Force:	34.4495 kN
Total Support Force:	113.132 kN
Total Slice Area:	259.059 m ²
Surface Horizontal Width:	22.977 m
Surface Average Height:	11.2747 m
FS	1.246250
Axis Location:	71.466, 64.929
Left Slip Surface Endpoint:	30.680, 56.884
Right Slip Surface Endpoint:	53.430, 27.474
Resisting Moment:	237395 kN-m
Driving Moment:	190488 kN-m
Active Support Moment:	-3459.7 kN-m
Maximum Single Support Force:	34.226 kN
Total Support Force:	115.809 kN
Total Slice Area:	255.265 m ²
Surface Horizontal Width:	22.7504 m
Surface Average Height:	11.2202 m

Global Minimum Coordinates

Rinforzi - Anisotropic_Statica SLU_01 Method: bishop simplified	Rinforzi - Anisotropic_Statica SLU_02 Method: bishop simplified																																																																			
<table border="1" style="width: 100%; border-collapse: collapse;"> <thead> <tr> <th style="text-align: left;">X</th> <th style="text-align: left;">Y</th> </tr> </thead> <tbody> <tr><td>30.4535</td><td>56.9205</td></tr> <tr><td>30.7265</td><td>56.1957</td></tr> <tr><td>31.0537</td><td>55.3999</td></tr> <tr><td>31.3803</td><td>54.6051</td></tr> <tr><td>31.8143</td><td>53.5911</td></tr> <tr><td>32.2856</td><td>52.6561</td></tr> <tr><td>32.6631</td><td>51.9448</td></tr> <tr><td>33.4166</td><td>50.6108</td></tr> <tr><td>33.9036</td><td>49.7696</td></tr> <tr><td>34.3905</td><td>48.9284</td></tr> <tr><td>34.8775</td><td>48.0871</td></tr> <tr><td>35.3644</td><td>47.2459</td></tr> <tr><td>35.8745</td><td>46.3646</td></tr> <tr><td>36.3805</td><td>45.4906</td></tr> <tr><td>37.0642</td><td>44.3094</td></tr> <tr><td>37.748</td><td>43.1282</td></tr> <tr><td>38.3427</td><td>42.1142</td></tr> <tr><td>38.9374</td><td>41.1136</td></tr> <tr><td>39.8816</td><td>39.525</td></tr> <tr><td>40.8249</td><td>37.9378</td></tr> <tr><td>41.4151</td><td>36.9829</td></tr> <tr><td>42.0053</td><td>36.0281</td></tr> <tr><td>42.595</td><td>35.1426</td></tr> <tr><td>43.1883</td><td>34.2851</td></tr> <tr><td>44.1973</td><td>33.124</td></tr> <tr><td>45.0899</td><td>32.1564</td></tr> <tr><td>46.0465</td><td>31.1193</td></tr> <tr><td>46.8413</td><td>30.2748</td></tr> <tr><td>47.6367</td><td>29.4578</td></tr> <tr><td>49.1172</td><td>28.9492</td></tr> <tr><td>50.5977</td><td>28.4406</td></tr> <tr><td>52.0782</td><td>27.9319</td></tr> <tr><td>53.4305</td><td>27.4736</td></tr> </tbody> </table>	X	Y	30.4535	56.9205	30.7265	56.1957	31.0537	55.3999	31.3803	54.6051	31.8143	53.5911	32.2856	52.6561	32.6631	51.9448	33.4166	50.6108	33.9036	49.7696	34.3905	48.9284	34.8775	48.0871	35.3644	47.2459	35.8745	46.3646	36.3805	45.4906	37.0642	44.3094	37.748	43.1282	38.3427	42.1142	38.9374	41.1136	39.8816	39.525	40.8249	37.9378	41.4151	36.9829	42.0053	36.0281	42.595	35.1426	43.1883	34.2851	44.1973	33.124	45.0899	32.1564	46.0465	31.1193	46.8413	30.2748	47.6367	29.4578	49.1172	28.9492	50.5977	28.4406	52.0782	27.9319	53.4305	27.4736
X	Y																																																																			
30.4535	56.9205																																																																			
30.7265	56.1957																																																																			
31.0537	55.3999																																																																			
31.3803	54.6051																																																																			
31.8143	53.5911																																																																			
32.2856	52.6561																																																																			
32.6631	51.9448																																																																			
33.4166	50.6108																																																																			
33.9036	49.7696																																																																			
34.3905	48.9284																																																																			
34.8775	48.0871																																																																			
35.3644	47.2459																																																																			
35.8745	46.3646																																																																			
36.3805	45.4906																																																																			
37.0642	44.3094																																																																			
37.748	43.1282																																																																			
38.3427	42.1142																																																																			
38.9374	41.1136																																																																			
39.8816	39.525																																																																			
40.8249	37.9378																																																																			
41.4151	36.9829																																																																			
42.0053	36.0281																																																																			
42.595	35.1426																																																																			
43.1883	34.2851																																																																			
44.1973	33.124																																																																			
45.0899	32.1564																																																																			
46.0465	31.1193																																																																			
46.8413	30.2748																																																																			
47.6367	29.4578																																																																			
49.1172	28.9492																																																																			
50.5977	28.4406																																																																			
52.0782	27.9319																																																																			
53.4305	27.4736																																																																			
<table border="1" style="width: 100%; border-collapse: collapse;"> <thead> <tr> <th style="text-align: left;">X</th> <th style="text-align: left;">Y</th> </tr> </thead> <tbody> <tr><td>30.6801</td><td>56.8838</td></tr> <tr><td>31.1801</td><td>55.7865</td></tr> <tr><td>31.6802</td><td>54.6892</td></tr> <tr><td>32.1802</td><td>53.5918</td></tr> <tr><td>32.6802</td><td>52.4945</td></tr> <tr><td>33.1538</td><td>51.5363</td></tr> <tr><td>33.7344</td><td>50.3904</td></tr> <tr><td>34.2413</td><td>49.3751</td></tr> <tr><td>34.7622</td><td>48.3368</td></tr> <tr><td>35.4651</td><td>47.0855</td></tr> <tr><td>36.0012</td><td>46.2196</td></tr> <tr><td>36.7087</td><td>45.0523</td></tr> <tr><td>37.4448</td><td>43.8546</td></tr> <tr><td>38.1809</td><td>42.6323</td></tr> <tr><td>38.917</td><td>41.3849</td></tr> <tr><td>39.7912</td><td>39.8737</td></tr> <tr><td>40.4813</td><td>38.705</td></tr> <tr><td>41.1714</td><td>37.5198</td></tr> <tr><td>42.0618</td><td>36.046</td></tr> <tr><td>42.6318</td><td>35.2073</td></tr> <tr><td>43.2017</td><td>34.3942</td></tr> <tr><td>44.4069</td><td>33.0132</td></tr> <tr><td>45.3278</td><td>31.9985</td></tr> <tr><td>46.4405</td><td>30.7478</td></tr> <tr><td>47.5532</td><td>29.4972</td></tr> <tr><td>48.7037</td><td>29.1011</td></tr> <tr><td>49.8543</td><td>28.7049</td></tr> <tr><td>51.0048</td><td>28.3088</td></tr> <tr><td>52.1553</td><td>27.9126</td></tr> <tr><td>53.4305</td><td>27.4736</td></tr> </tbody> </table>	X	Y	30.6801	56.8838	31.1801	55.7865	31.6802	54.6892	32.1802	53.5918	32.6802	52.4945	33.1538	51.5363	33.7344	50.3904	34.2413	49.3751	34.7622	48.3368	35.4651	47.0855	36.0012	46.2196	36.7087	45.0523	37.4448	43.8546	38.1809	42.6323	38.917	41.3849	39.7912	39.8737	40.4813	38.705	41.1714	37.5198	42.0618	36.046	42.6318	35.2073	43.2017	34.3942	44.4069	33.0132	45.3278	31.9985	46.4405	30.7478	47.5532	29.4972	48.7037	29.1011	49.8543	28.7049	51.0048	28.3088	52.1553	27.9126	53.4305	27.4736						
X	Y																																																																			
30.6801	56.8838																																																																			
31.1801	55.7865																																																																			
31.6802	54.6892																																																																			
32.1802	53.5918																																																																			
32.6802	52.4945																																																																			
33.1538	51.5363																																																																			
33.7344	50.3904																																																																			
34.2413	49.3751																																																																			
34.7622	48.3368																																																																			
35.4651	47.0855																																																																			
36.0012	46.2196																																																																			
36.7087	45.0523																																																																			
37.4448	43.8546																																																																			
38.1809	42.6323																																																																			
38.917	41.3849																																																																			
39.7912	39.8737																																																																			
40.4813	38.705																																																																			
41.1714	37.5198																																																																			
42.0618	36.046																																																																			
42.6318	35.2073																																																																			
43.2017	34.3942																																																																			
44.4069	33.0132																																																																			
45.3278	31.9985																																																																			
46.4405	30.7478																																																																			
47.5532	29.4972																																																																			
48.7037	29.1011																																																																			
49.8543	28.7049																																																																			
51.0048	28.3088																																																																			
52.1553	27.9126																																																																			
53.4305	27.4736																																																																			

Valid/Invalid Surfaces

Rinforzi - Anisotropic_Statica SLU_01 Method: bishop simplified	Rinforzi - Anisotropic_Statica SLU_02 Method: bishop simplified
Number of Valid Surfaces: 17738 Number of Invalid Surfaces: 7322	Number of Valid Surfaces: 12380 Number of Invalid Surfaces: 12678

Slice Data

Rinforzi - Anisotropic_Statica SLU_01															Rinforzi - Anisotropic_Statica SLU_02														
• Global Minimum Query (bishop simplified) - Safety Factor: 1.24698															• Global Minimum Query (bishop simplified) - Safety Factor: 1.24625														
Slice Number	Width [m]	Weight [kN]	Angle of Slice Baseline [degrees]	Base Cohesion [kPa]	Base Friction Angle [degrees]	Shear Strength [kPa]	Shear Normal Stress [kPa]	Normal Pressure [kPa]	Effective Normal Stress [kPa]	Base Vertical Stress [kPa]	Effective Vertical Stress [kPa]	Slice Number	Width [m]	Weight [kN]	Angle of Slice Baseline [degrees]	Base Cohesion [kPa]	Base Friction Angle [degrees]	Shear Strength [kPa]	Shear Normal Stress [kPa]	Normal Pressure [kPa]	Effective Normal Stress [kPa]	Base Vertical Stress [kPa]							
1	0.2	2.3	-	Anisotro	96	33.9	33.56	41.85	-	0	-	8.5	8.5	1	0.5	6.3	-	Anisotro	96	33.9	38.42	47.88	-	0	-	12.70	12.70		
	730	23	69.	pic Rock	355	34	355	45	43	577	4	80.	80.	80.	39	53	65.	502	Rock	39	52	502	42	16	71.	71.	62		
2	0.3	8.6	-	Anisotro	96	33.9	39.44	49.18	-	0	-	26.	26.	2	0.5	19.	-	Anisotro	96	33.9	44.69	55.70	-	0	-	38.82	38.82		
	271	04	67.	pic Rock	654	2	654	72	99	660	8	660	28	28	39	06	65.	502	Rock	39	65	3	96	96	83	11	11		
3	0.3	14.	-	Anisotro	96	33.9	43.77	54.58	-	0	-	44.	44.	9	0.5	31.	-	Anisotro	96	33.9	50.97	63.52	-	0	-	63.32	63.32		
	266	65	67.	pic Rock	654	2	654	53	69	629	2	629	33	33	39	76	65.	502	Rock	39	76	24	44	32	48.	53	53		
4	0.4	28.	-	Anisotro	96	33.9	49.80	62.10	-	0	-	65.	65.	9	0.5	44.	-	Anisotro	96	33.9	57.24	71.34	-	0	-	88.94	88.94		
	339	61	66.	pic Rock	832	2	832	28	31	443	8	443	56	56	39	47	65.	502	Rock	39	47	85	59	68	68	26	26		
5	0.4	41.	-	Anisotro	96	33.9	60.24	75.12	-	0	-	88.	88.	9	0.4	53.	-	Anisotro	96	33.9	65.89	82.12	-	0	-	11.65	11.65		
	713	69	63.	pic Rock	25	59	25	81	82	060	5	060	97	97	8	35	63.	698	Rock	8	74	54	22	65	20.	2.6	2.6		
6	0.3	40.	-	Anisotro	96	33.9	66.90	83.42	-	0	-	10.	10.	9	0.5	79.	-	Anisotro	96	33.9	73.06	91.05	-	0	-	13.61	13.61		
	775	51	62.	pic Rock	041	1	041	24	59	712	2	712	33	33	4	44	63.	130	Rock	4	9	17	31	61	73	39	39		
7	0.3	46.	-	Anisotro	96	33.9	73.32	91.43	-	0	-	12.	12.	9	0.5	81.	-	Anisotro	96	33.9	78.93	98.37	-	0	-	16.56	16.56		
	767	35	60.	pic Rock	541	51	541	84	9	875	875	36	36	36	9	19	63.	469	Rock	9	88	75	07	07	35	1.6	1.6		
8	0.3	52.	-	Anisotro	96	33.9	77.50	96.64	0.9	0	0.9	13.	13.	9	0.5	96.	-	Anisotro	96	33.9	85.26	10.62	15.27	0	15.	18.49	18.49		
	767	06	60.	pic Rock	541	51	541	7	97	06	06	89	89	89	81	28	63.	358	Rock	81	97	67	95	95	27	5.2	5.2		
9	0.4	75.	-	Anisotro	96	33.9	83.20	10.37	11.	0	11.	15.	15.	9	0.3	71.	-	Anisotro	96	33.9	95.50	11.90	34.26	0	34.	20.85	20.85		
	869	62	59.	pic Rock	935	43	935	98	61	5	5	96	96	96	5	6	60.	675	Rock	5	73	26	63	63	26	4.2	4.2		
10	0.4	84.	-	Anisotro	96	33.9	88.52	11.03	21.	0	21.	17.	17.	9	0.4	86.	-	Anisotro	96	33.9	99.41	12.39	41.52	0	41.	21.85	21.85		
	869	90	59.	pic Rock	935	43	935	95	94	3	3	58	58	58	5	37	60.	675	Rock	5	96	02	22	22	06	06	06		
11	0.4	94.	-	Anisotro	96	33.9	93.84	11.70	31.	0	31.	19.	19.	9	0.5	12.	-	Anisotro	96	33.9	10.90	13.5.8	29.	0	59.	23.56	23.56		
	869	19	59.	pic Rock	935	74	935	95	28	5	5	2	2	2	13	77	236	Rock	13	04	47	8	8	56	5.3	5.3			
12	0.4	10.	-	Anisotro	96	33.9	99.16	12.36	41.	0	41.	21.	21.	9	0.4	89.	-	Anisotro	96	33.9	11.2.5	14.0.2	65.92	0	65.	25.1.6	25.1.6		
	869	3.4	59.	pic Rock	935	74	935	95	62	166	166	2.4	2.4	83	25	44	782	Rock	25	75	97	06	06	77	77	77			
13	0.5	11.	-	Anisotro	96	33.9	10.4.6	13.0.4	51.	0	51.	23.	23.	9	0.1	93.	-	Anisotro	96	33.9	11.6.3	14.4.9	72.88	0	72.	26.4.8	26.4.8		
	101	8.3	59.	pic Rock	935	01	935	16	54	9	9	99	99	99	9	78	68	782	Rock	25	31	77	56	56	39	39	39		
14	0.5	12.	-	Anisotro	96	33.9	11.0.1	13.7.3	61.	0	61.	25.	25.	9	0.6	89.	-	Anisotro	96	33.9	12.0.9	15.0.7	81.41	0	81.	27.8.1	27.8.1		
	059	7.4	59.	pic Rock	935	3	935	66	75	9	9	86	86	86	53	78	2.3	58.	Roc	53	27	06	06	06	61	61	61		

31	0.4	16	-	Anis	96	33.	17	21	177	0	177	36	36
462	2.8	47.	otro		9	2.6	5.3	.58		.58	4.7	4.7	
9	01	310	pic		82	31	4		4	88	88		
			Roc	k									
32	0.4	16	-	Anis	96	33.	17	22	185	0	185	37	37
462	8.1	47.	otro		9	6.7	0.4	.21		.21	6.8	6.8	
9	99	310	pic		97	62	8		8	83	83		
			Roc	k									
33	0.4	18	-	Anis	96	33.	18	22	193	0	193	38	38
783	6.2	47.	otro		9	1.0	5.7	.12		.12	9.4	9.4	
13	61	310	pic		58	76	7		7	12	12		
			Roc	k									
34	0.4	19	-	Anis	96	33.	18	23	201	0	201	40	40
783	2.4	47.	otro		9	5.4	1.2	.31		.31	2.3	2.3	
13	61	310	pic		68	75			76	76			
			Roc	k									
35	0.3	16	-	Anis	96	33.	19	23	211	0	211	41	41
974	4.5	46.	otro		9	0.8	8.0	.34		.34	4.1	4.1	
03	79	734	pic		73	15	1		1	37	37		
			Roc	k									
36	0.3	16	-	Anis	96	33.	19	24	218	0	218	42	42
974	8.7	46.	otro		9	4.4	2.5	.05		.05	4.6	4.6	
03	73	734	pic		9	25	3		3	91	91		
			Roc	k									
37	0.3	17	-	Anis	96	33.	20	25	236	0	236	44	44
976	3.0	45.	otro		9	4.2	4.6	.12		.12	5.9	5.9	
97	28	768	pic		26	66			01	01			
			Roc	k									
38	0.3	17	-	Anis	96	33.	19	24	227	0	227	43	43
976	1.7	45.	otro		9	9.3	8.6	.12		.12	1.9	1.9	
97	75	768	pic		78	2	2		2	23	23		
			Roc	k									
39	0.4	16	-	Anis	0	33.	15	19	286	0	286	33	33
934	7.4	18.	otro		9	4.2	2.3	.27		.27	9.2	9.2	
92	3	960	pic		68	69	6		6	76	76		
			Roc	k									
40	0.4	11	-	Anis	0	33.	10	13	193	0	193	22	22
934	3.3	18.	otro		9	4.3	0.1	.72		.72	9.5	9.5	
92	03	960	pic		96	8	8		8	94	94		
			Roc	k									
41	0.4	10	-	Anis	0	33.	95.	11	178	0	178	21	21
934	4.1	18.	otro		9	93	9.6	.03		.03	0.9	0.9	
92	22	960	pic		74	32	1		1	91	91		
			Roc	k									
42	0.4	10	-	Anis	0	33.	97.	12	181	0	181	21	21
934	6.2	18.	otro		9	86	2.0	.60		.60	5.2	5.2	
92	14	960	pic		44	35	7		7	29	29		
			Roc	k									
43	0.4	10	-	Anis	0	33.	99.	12	185	0	185	21	21
934	8.3	18.	otro		9	79	4.4	.18		.18	9.4	9.4	
92	06	960	pic		15	38	4		4	68	68		
			Roc	k									
44	0.4	11	-	Anis	0	33.	10	12	188	0	188	22	22
934	0.3	18.	otro		9	1.7	6.8	.76		.76	3.7	3.7	
92	97	960	pic		19	41			06	06			
			Roc	k									
45	0.4	11	-	Anis	0	33.	11	14	212	0	212	25	25
935	2.4	18.	otro		9	4.6	2.9	.79		.79	2.1	2.1	
24	96	960	pic		69	9	2		2	88	88		
			Roc	k									
46	0.4	11	-	Anis	0	33.	10	13	195	0	195	23	23
935	4.5	18.	otro		9	5.5	1.6	.91		.91	2.1	2.1	
24	88	960	pic		73	48	4		4	84	84		
			Roc	k									
47	0.4	11	-	Anis	0	33.	10	13	199	0	199	23	23
935	6.6	18.	otro		9	7.5	4.0	.48		.48	6.4	6.4	
24	8	960	pic		01	52	9		9	22	22		

960 Roc												999 Roc																
			6 k						4 k			9 k			19 k			19 k			23 k							
48	0.4	10.	-	Anis	0	33.	10	13	201	0	201	23	23	48	0.4	99.	-	Anis	0	33.	10	13	19	0	19	23	23	
507	7.1	18.	otro		9	8.3	5.0	.04			.04	7.7	7.7		507	250	56	18.	otro	9	6.5	2.7	7.5	7.5	4.2	4.2		
58	73	722	pic		39	96	5			5	62	62		58	55	76	998	5	Roc	28	61	69	69	46	46			
				Roc														k										
49	0.4	73.	-	Anis	0	33.	74.	92.	138	0	138	16	16	49	0.4	65.	-	Anis	0	33.	69.	87.	12	0	12	15	15	
507	61	18.	otro		9	41	79	.08			.08	3.3	3.3		507	250	41	18.	otro	9	99	22	9.8	9.8	3.9	3.9		
58	11	722	pic		18		6			6	05	05		58	55	92	998	5	Roc	26	83	09	09	08	08			
				Roc														k										
50	0.4	24.	-	Anis	0	33.	24.	30.	46.	0	46.	54.	54.	50	0.4	21.	-	Anis	0	33.	23.	29.	43.	0	43.	51.	51.	
507	53	18.	otro		9	80	93	028			028	43	43		507	250	80	18.	otro	9	33	07	26	26	30	30		
58	7	722	pic		39		7			7	52	52		58	55	64	998	5	Roc	09	61	97	97	25	25			
				Roc														k										

Interslice Data

Rinforzi - Anisotropic_Statica SLU_01						Rinforzi - Anisotropic_Statica SLU_02					
• Global Minimum Query (bishop simplified) - Safety Factor: 1.24698						• Global Minimum Query (bishop simplified) - Safety Factor: 1.24625					
Slice Number	X coordinate [m]	Y coordinate - Bottom [m]	Interslice Normal Force [kN]	Interslice Shear Force [kN]	Interslice Force Angle [degrees]	Slice Number	X coordinate [m]	Y coordinate - Bottom [m]	Interslice Normal Force [kN]	Interslice Shear Force [kN]	Interslice Force Angle [degrees]
1	30.4535	56.9205	0	0	0	1	30.6801	56.8838	0	0	0
2	30.7265	56.1957	-67.5675	0	0	2	31.1801	55.7865	-97.7895	0	0
3	31.0537	55.3999	-135.908	0	0	3	31.6802	54.6892	-185.945	0	0
4	31.3803	54.6051	-199.188	0	0	4	32.1802	53.5918	-264.466	0	0
5	31.8143	53.5911	-271.952	0	0	5	32.6802	52.4945	-333.353	0	0
6	32.2856	52.6561	-329.39	0	0	6	33.1538	51.5363	-384.347	0	0
7	32.6631	51.9448	-367.955	0	0	7	33.7344	50.3904	-435.203	0	0
8	33.0399	51.2778	-400.109	0	0	8	34.2413	49.3751	-471.624	0	0
9	33.4166	50.6108	-428.665	0	0	9	34.7622	48.3368	-500.175	0	0
10	33.9036	49.7696	-459.468	0	0	10	35.1137	47.7112	-512.303	0	0
11	34.3905	48.9284	-484.557	0	0	11	35.4651	47.0855	-521.266	0	0
12	34.8775	48.0871	-503.933	0	0	12	36.0012	46.2196	-528.358	0	0
13	35.3644	47.2459	-517.594	0	0	13	36.3549	45.636	-529.703	0	0
14	35.8745	46.3646	-525.777	0	0	14	36.7087	45.0523	-528.311	0	0
15	36.3805	45.4906	-527.699	0	0	15	37.0767	44.4535	-524.068	0	0
16	36.7224	44.9	-525.505	0	0	16	37.4448	43.8546	-516.949	0	0
17	37.0642	44.3094	-520.495	0	0	17	37.8128	43.2434	-506.678	0	0
18	37.4061	43.7188	-512.668	0	0	18	38.1809	42.6323	-493.404	0	0
19	37.748	43.1282	-502.024	0	0	19	38.5489	42.0086	-476.761	0	0
20	38.3427	42.1142	-477.136	0	0	20	38.917	41.3849	-456.984	0	0
21	38.9374	41.1136	-444.428	0	0	21	39.3541	40.6293	-428.875	0	0
22	39.4095	40.3193	-412.722	0	0	22	39.7912	39.8737	-396.159	0	0
23	39.8816	39.525	-375.935	0	0	23	40.1363	39.2893	-367.656	0	0
24	40.3532	38.7314	-334.101	0	0	24	40.4813	38.705	-336.402	0	0
25	40.8249	37.9378	-287.193	0	0	25	40.8263	38.1124	-301.923	0	0
26	41.4151	36.9829	-241.356	0	0	26	41.1714	37.5198	-264.61	0	0
27	42.0053	36.0281	-171.014	0	0	27	41.6166	36.7829	-233.378	0	0
28	42.595	35.1426	-100.338	0	0	28	42.0618	36.046	-178.638	0	0
29	43.1883	34.2851	-42.9773	0	0	29	42.6318	35.2073	-112.643	0	0
30	43.6928	33.7045	-31.7261	0	0	30	43.2017	34.3942	-60.8343	0	0
31	44.1973	33.124	-20.4793	0	0	31	43.8043	33.7037	-48.9095	0	0
32	44.6436	32.6402	-11.6266	0	0	32	44.4069	33.0132	-35.538	0	0
33	45.0899	32.1564	-0.916001	0	0	33	44.8674	32.5058	-25.0138	0	0
34	45.5682	31.6378	12.6257	0	0	34	45.3278	31.9985	-13.0733	0	0
35	46.0465	31.1193	28.3013	0	0	35	45.8841	31.3732	6.48505	0	0
36	46.4439	30.6971	41.6816	0	0	36	46.4405	30.7478	29.2102	0	0

37	46.8413	30.2748	56.4585	0	0	37	46.9969	30.1225	32.0963	0	0
38	47.239	29.8663	47.2781	0	0	38	47.5532	29.4972	60.4696	0	0
39	47.6367	29.4578	60.7696	0	0	39	47.9367	29.3651	36.9927	0	0
40	48.1302	29.2883	33.1761	0	0	40	48.3202	29.2331	19.3513	0	0
41	48.6237	29.1187	14.5029	0	0	41	48.7037	29.1011	6.0115	0	0
42	49.1172	28.9492	-2.65706	0	0	42	49.279	28.903	-14.0138	0	0
43	49.6107	28.7796	-20.1618	0	0	43	49.8543	28.7049	-34.5073	0	0
44	50.1042	28.6101	-38.0113	0	0	44	50.2378	28.5729	-48.4297	0	0
45	50.5977	28.4406	-56.2054	0	0	45	50.6213	28.4408	-62.5603	0	0
46	51.0912	28.271	-144.57	0	0	46	51.0048	28.3088	-146.265	0	0
47	51.5847	28.1014	-163.454	0	0	47	51.5801	28.1107	-168.163	0	0
48	52.0782	27.9319	-182.684	0	0	48	52.1553	27.9126	-190.529	0	0
49	52.529	27.7791	-200.805	0	0	49	52.5804	27.7663	-206.896	0	0
50	52.9797	27.6264	-213.251	0	0	50	53.0054	27.6199	-217.65	0	0
51	53.4305	27.4736	0	0	0	51	53.4305	27.4736	0	0	0

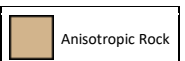
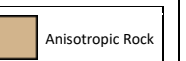
Entity Information

Group: Rinforzi

Shared Entities

Type	Coordinates	
	X	Y
External Boundary	83.4305	27.4736
	53.4305	27.4736
	52.4305	37.4736
	48.4305	37.4736
	47.4305	47.4736
	43.4305	47.4736
	42.6836	54.943
	-20.4	65.143
	-20.4	60.18
	-20.4	28.949
	-20.4	0
	83.4305	0
Material Boundary	83.4305	21.6141
	X	Y
	-20.4	60.18
Water Table	24.3473	51.8968
	43.4305	47.4736

Scenario-based Entities

Type	Coordinates	Anisotropic_Statica SLU_01	Anisotropic_Statica SLU_02						
		Assigned to materials:	Assigned to materials:						
Water Table	<table border="1"> <tr> <th>X</th> <th>Y</th> </tr> <tr> <td>-20.4</td> <td>28.949</td> </tr> <tr> <td>83.4305</td> <td>21.6141</td> </tr> </table>	X	Y	-20.4	28.949	83.4305	21.6141	 Anisotropic Rock	 Anisotropic Rock
X	Y								
-20.4	28.949								
83.4305	21.6141								

5.2 Analisi sismica

Slide Analysis Information

sez.40sismica

Project Summary

File Name:	sez.40sismica.slmd
Slide Modeler Version:	8.021
Project Title:	SLIDE - An Interactive Slope Stability Program
Date Created:	02/10/2017, 09:00:02

Currently Open Scenarios

Group Name	Scenario Name	Global Minimum	Compute Time
	Anisotropic_sismica+	Bishop Simplified: 1.337160	00h:00m:02.602s
Rinforzi	Anisotropic_sismica-	Bishop Simplified: 1.386870	00h:00m:02.152s

General Settings

Units of Measurement:	Metric Units
Time Units:	days
Permeability Units:	meters/second
Data Output:	Standard
Failure Direction:	Left to Right

Analysis Options

All Open Scenarios	
Slices Type:	Vertical
Analysis Methods Used	
	Bishop simplified
Number of slices:	50
Tolerance:	0.005
Maximum number of iterations:	75
Check malpha < 0.2:	Yes
Create Interslice boundaries at intersections with water tables and piezos:	Yes
Initial trial value of FS:	1
Steffensen Iteration:	Yes

Groundwater Analysis

All Open Scenarios	
Groundwater Method:	Water Surfaces
Pore Fluid Unit Weight [kN/m³]:	9.81
Use negative pore pressure cutoff:	Yes
Maximum negative pore pressure [kPa]:	0
Advanced Groundwater Method:	None

Random Numbers

All Open Scenarios	
Pseudo-random Seed:	10116
Random Number Generation Method:	Park and Miller v.3

Surface Options

All Open Scenarios	
Search Method:	Cuckoo Search
Initial # of Surface Vertices:	8
Maximum Iterations:	500
Number of Nests:	50
Minimum Elevation:	Not Defined
Minimum Depth:	Not Defined
Minimum Area:	Not Defined
Minimum Weight:	Not Defined
Convex Surfaces Only:	Enabled

Seismic Loading

Rinforzi - Anisotropic_sismica+	Rinforzi - Anisotropic_sismica-
Advanced seismic analysis:	No
Staged pseudostatic analysis:	No
Seismic Load Coefficient (Horizontal):	0.109
Seismic Load Coefficient (Vertical):	0.055
Seismic Load Coefficient (Horizontal):	0.109
Seismic Load Coefficient (Vertical):	-0.055

Materials

Property	SRa	SR_	Anisotropic Rock
Color			
Strength Type	Mohr-Coulomb	Mohr-Coulomb	Anisotropic Linear
Unit Weight [kN/m³]	24	24.5	25
Cohesion [kPa]	45	290	
Friction Angle [°]	40	46	
Cohesion 1 [kPa]			0
Cohesion 2 [kPa]			120
Friction Angle 1 [°]			40

Friction Angle 2 [°]	39
A [°]	5
B [°]	5
Anisotropic Definition	Angle
Angle from 1 [°]	-14
Anisotropic Surface	
Water Surface	Assigned per scenario
Hu Value	1
	Assigned per scenario
	Assigned per scenario

Materials In Use

Material	Anisotropic_sismica+	Anisotropic_sismica-
Anisotropic Rock		

Support

Support 1

- Support Type: Soil Nail
- Force Application: Active
- Force Orientation: Parallel to Reinforcement
- Out-of-Plane Spacing: 2.5 m
- Tensile Capacity: 213 kN
- Plate Capacity: 0 kN
- Bond Strength: 35 kN/m

Global Minimum

Rinforzi - Anisotropic_sismica+		Rinforzi - Anisotropic_sismica-	
Method: bishop simplified		Method: bishop simplified	
FS	1.337160	FS	1.386870
Axis Location:	70.745, 66.852	Axis Location:	70.655, 67.413
Left Slip Surface Endpoint:	28.923, 57.140	Left Slip Surface Endpoint:	28.368, 57.229
Right Slip Surface Endpoint:	53.421, 27.567	Right Slip Surface Endpoint:	53.430, 27.474
Resisting Moment:	316478 kN-m	Resisting Moment:	307593 kN-m
Driving Moment:	236679 kN-m	Driving Moment:	221789 kN-m
Active Support Moment:	-2998.02 kN-m	Active Support Moment:	-3345.56 kN-m
Maximum Single Support Force:	31.9125 kN	Maximum Single Support Force:	34.226 kN
Total Support Force:	91.2874 kN	Total Support Force:	99.3019 kN
Total Slice Area:	279.419 m ²	Total Slice Area:	283.911 m ²
Surface Horizontal Width:	24.4986 m	Surface Horizontal Width:	25.0623 m
Surface Average Height:	11.4055 m	Surface Average Height:	11.3282 m

Global Minimum Coordinates

Rinforzi - Anisotropic_sismica+		Rinforzi - Anisotropic_sismica-																																																																																																																			
Method: bishop simplified		Method: bishop simplified																																																																																																																			
<table border="1"> <thead> <tr> <th>X</th><th>Y</th></tr> </thead> <tbody> <tr><td>28.9225</td><td>57.1404</td></tr> <tr><td>29.3073</td><td>56.268</td></tr> <tr><td>29.6922</td><td>55.5067</td></tr> <tr><td>30.4617</td><td>53.9841</td></tr> <tr><td>30.9238</td><td>53.1456</td></tr> <tr><td>31.396</td><td>52.2893</td></tr> <tr><td>32.2269</td><td>50.8042</td></tr> <tr><td>33.0002</td><td>49.503</td></tr> <tr><td>33.7735</td><td>48.2087</td></tr> <tr><td>34.3569</td><td>47.3029</td></tr> <tr><td>35.0468</td><td>46.2392</td></tr> <tr><td>35.7367</td><td>45.1756</td></tr> <tr><td>36.4267</td><td>44.112</td></tr> <tr><td>37.4541</td><td>42.5281</td></tr> <tr><td>38.4815</td><td>40.9441</td></tr> <tr><td>39.2802</td><td>39.7128</td></tr> <tr><td>40.0789</td><td>38.4815</td></tr> <tr><td>40.9318</td><td>37.1666</td></tr> <tr><td>41.7847</td><td>35.8553</td></tr> <tr><td>42.4478</td><td>34.8365</td></tr> <tr><td>43.1108</td><td>33.8464</td></tr> <tr><td>44.4369</td><td>32.2942</td></tr> <tr><td>45.6399</td><td>30.9313</td></tr> <tr><td>46.6147</td><td>29.9032</td></tr> <tr><td>47.9336</td><td>29.4496</td></tr> <tr><td>49.2525</td><td>28.996</td></tr> <tr><td>50.5714</td><td>28.5425</td></tr> <tr><td>51.8904</td><td>28.089</td></tr> <tr><td>53.4211</td><td>27.5674</td></tr> </tbody> </table>		X	Y	28.9225	57.1404	29.3073	56.268	29.6922	55.5067	30.4617	53.9841	30.9238	53.1456	31.396	52.2893	32.2269	50.8042	33.0002	49.503	33.7735	48.2087	34.3569	47.3029	35.0468	46.2392	35.7367	45.1756	36.4267	44.112	37.4541	42.5281	38.4815	40.9441	39.2802	39.7128	40.0789	38.4815	40.9318	37.1666	41.7847	35.8553	42.4478	34.8365	43.1108	33.8464	44.4369	32.2942	45.6399	30.9313	46.6147	29.9032	47.9336	29.4496	49.2525	28.996	50.5714	28.5425	51.8904	28.089	53.4211	27.5674	<table border="1"> <thead> <tr> <th>X</th><th>Y</th></tr> </thead> <tbody> <tr><td>28.3682</td><td>57.2289</td></tr> <tr><td>28.9905</td><td>55.9644</td></tr> <tr><td>29.7943</td><td>54.4931</td></tr> <tr><td>30.5981</td><td>53.0217</td></tr> <tr><td>31.4022</td><td>51.7279</td></tr> <tr><td>32.2062</td><td>50.4341</td></tr> <tr><td>32.8862</td><td>49.3162</td></tr> <tr><td>33.5661</td><td>48.1806</td></tr> <tr><td>34.5575</td><td>46.6153</td></tr> <tr><td>35.5489</td><td>45.05</td></tr> <tr><td>36.4531</td><td>43.6598</td></tr> <tr><td>37.3573</td><td>42.2695</td></tr> <tr><td>38.2616</td><td>40.8793</td></tr> <tr><td>39.1144</td><td>39.6487</td></tr> <tr><td>39.9673</td><td>38.4095</td></tr> <tr><td>40.8202</td><td>37.184</td></tr> <tr><td>41.8975</td><td>35.6869</td></tr> <tr><td>42.9748</td><td>34.1864</td></tr> <tr><td>44.0858</td><td>33.0499</td></tr> <tr><td>45.1968</td><td>31.9134</td></tr> <tr><td>46.3515</td><td>30.7131</td></tr> <tr><td>47.5062</td><td>29.5127</td></tr> <tr><td>48.8171</td><td>29.0617</td></tr> <tr><td>50.128</td><td>28.6106</td></tr> <tr><td>51.7793</td><td>28.0421</td></tr> <tr><td>53.4305</td><td>27.4736</td></tr> </tbody> </table>		X	Y	28.3682	57.2289	28.9905	55.9644	29.7943	54.4931	30.5981	53.0217	31.4022	51.7279	32.2062	50.4341	32.8862	49.3162	33.5661	48.1806	34.5575	46.6153	35.5489	45.05	36.4531	43.6598	37.3573	42.2695	38.2616	40.8793	39.1144	39.6487	39.9673	38.4095	40.8202	37.184	41.8975	35.6869	42.9748	34.1864	44.0858	33.0499	45.1968	31.9134	46.3515	30.7131	47.5062	29.5127	48.8171	29.0617	50.128	28.6106	51.7793	28.0421	53.4305	27.4736
X	Y																																																																																																																				
28.9225	57.1404																																																																																																																				
29.3073	56.268																																																																																																																				
29.6922	55.5067																																																																																																																				
30.4617	53.9841																																																																																																																				
30.9238	53.1456																																																																																																																				
31.396	52.2893																																																																																																																				
32.2269	50.8042																																																																																																																				
33.0002	49.503																																																																																																																				
33.7735	48.2087																																																																																																																				
34.3569	47.3029																																																																																																																				
35.0468	46.2392																																																																																																																				
35.7367	45.1756																																																																																																																				
36.4267	44.112																																																																																																																				
37.4541	42.5281																																																																																																																				
38.4815	40.9441																																																																																																																				
39.2802	39.7128																																																																																																																				
40.0789	38.4815																																																																																																																				
40.9318	37.1666																																																																																																																				
41.7847	35.8553																																																																																																																				
42.4478	34.8365																																																																																																																				
43.1108	33.8464																																																																																																																				
44.4369	32.2942																																																																																																																				
45.6399	30.9313																																																																																																																				
46.6147	29.9032																																																																																																																				
47.9336	29.4496																																																																																																																				
49.2525	28.996																																																																																																																				
50.5714	28.5425																																																																																																																				
51.8904	28.089																																																																																																																				
53.4211	27.5674																																																																																																																				
X	Y																																																																																																																				
28.3682	57.2289																																																																																																																				
28.9905	55.9644																																																																																																																				
29.7943	54.4931																																																																																																																				
30.5981	53.0217																																																																																																																				
31.4022	51.7279																																																																																																																				
32.2062	50.4341																																																																																																																				
32.8862	49.3162																																																																																																																				
33.5661	48.1806																																																																																																																				
34.5575	46.6153																																																																																																																				
35.5489	45.05																																																																																																																				
36.4531	43.6598																																																																																																																				
37.3573	42.2695																																																																																																																				
38.2616	40.8793																																																																																																																				
39.1144	39.6487																																																																																																																				
39.9673	38.4095																																																																																																																				
40.8202	37.184																																																																																																																				
41.8975	35.6869																																																																																																																				
42.9748	34.1864																																																																																																																				
44.0858	33.0499																																																																																																																				
45.1968	31.9134																																																																																																																				
46.3515	30.7131																																																																																																																				
47.5062	29.5127																																																																																																																				
48.8171	29.0617																																																																																																																				
50.128	28.6106																																																																																																																				
51.7793	28.0421																																																																																																																				
53.4305	27.4736																																																																																																																				

Valid/Invalid Surfaces

Rinforzi - Anisotropic_sismica+		Rinforzi - Anisotropic_sismica-	
Method: bishop simplified		Method: bishop simplified	
Number of Valid Surfaces:	14211	Number of Valid Surfaces:	12436
Number of Invalid Surfaces:	10845	Number of Invalid Surfaces:	12620

Slice Data

Rinforzi - Anisotropic_sismica+	Rinforzi - Anisotropic_sismica-
• Global Minimum Query (bishop simplified) - Safety Factor: 1.3376	• Global Minimum Query (bishop simplified) - Safety Factor: 1.38687

Slice Number	Width [m]	Weight [kN]	Angle of Slice Base [degrees]	Base Material	Base Cohesion [kPa]	Base Friction Angle [degrees]	Shear Stress [kPa]	Shear Strength [kPa]	Base Normal Stress [kPa]	Effective Normal Stress [kPa]	Base Vertical Stress [kPa]	Effective Vertical Stress [kPa]	Slice Number	Width [m]	Weight [kN]	Angle of Slice Base [degrees]	Base Material	Base Cohesion [kPa]	Base Friction Angle [degrees]	Shear Stress [kPa]	Shear Strength [kPa]	Base Normal Stress [kPa]	Effective Normal Stress [kPa]	Base Vertical Stress [kPa]	Effective Vertical Stress [kPa]
1	0.38 483 4	3.9 007 4	- 66.1 953	Aniso tropic Rock	120	39	40. 551 2	54. 223 5	81. 227 2	0 227	10. 694 5	10. 694 5	1	0.62 225 5	9.0 621 7	- 63.7 972	Aniso tropic Rock	120	39	43. 248 3	59. 979 8	74.1 186	0 74.1 186	13. 762 9	13. 762 9
2	0.38 480 7	11. 167 4	- 63.1 862	Aniso tropic Rock	120	39	49. 261 3	65. 870 2	66. 844 6	0 66. 844 6	30. 617 9	30. 617 9	2	0.40 191 7	15. 080 1	- 61.3 511	Aniso tropic Rock	120	39	51. 832 4	71. 884 8	59.4 174	0 59.4 174	35. 457 2	35. 457 2
3	0.38 478 5	17. 899 3	- 63.1 862	Aniso tropic Rock	120	39	54. 346 8	72. 670 4	58. 447 2	0 447	49. 077 2	49. 077 2	3	0.40 191 7	21. 827 2	- 61.3 511	Aniso tropic Rock	120	39	56. 309 9	78. 094 5	51.7 49	0 51.7 49	51. 321 2	51. 321 2
4	0.38 478 5	24. 631 6	- 63.1 862	Aniso tropic Rock	120	39	59. 432 2	79. 470 4	50. 049 9	0 50. 049 9	67. 535 7	67. 535 7	4	0.40 191 7	28. 574 4	- 61.3 511	Aniso tropic Rock	120	39	60. 787 4	84. 304 2	44.0 806	0 44.0 806	67. 185 2	67. 185 2
5	0.46 210 8	38. 040 9	- 61.1 392	Aniso tropic Rock	120	39	67. 818 3	90. 683 9	36. 202 3	0 36.	86. 849 3	86. 849	5	0.40 191 7	35. 321 5	- 61.3 511	Aniso tropic Rock	120	39	65. 264 9	90. 514 9	36.4 123	0 36.4 123	83. 049 4	83. 049 4
6	0.47 214 2	47. 988 8	- 61.1 3	Aniso tropic Rock	120	39	73. 714 4	98. 567 9	26. 466 5	0 466	107. 23 2	107. 23 2	6	0.40 202 5	41. 633 8	- 58.1 412	Aniso tropic Rock	120	39	74. 072 3	102. 72 9	21.3 284	0 21.3 284	97. 864 8	97. 864 8
7	0.41 547 2	49. 796 2	- 60.7 721	Aniso tropic Rock	120	39	79. 870 8	106. 870 8	16. 300 6	0 16.	126. 44 6	126. 44 6	7	0.40 202 5	47. 490 5	- 58.1 412	Aniso tropic Rock	120	39	78. 216 6	108. 6 6	14.2 305	0 14.2 305	111. 63 2	111. 63 2
8	0.41 547 8	56. 819 8	- 60.7 721	Aniso tropic Rock	120	39	85. 057 7	113. 73 6	7. 357 3	0 357	144. 28 3	144. 28 3	8	0.40 202 5	53. 347 2	- 58.1 412	Aniso tropic Rock	120	39	82. 361 1	114. 269 4	7.13 269	0 7.13 269	125. 39 8	125. 39 8
9	0.38 665 4	58. 993 2	- 59.2 774	Aniso tropic Rock	120	39	92. 729 6	123. 99 4	4.9 325 4	0 325	160. 96 7	160. 96 7	9	0.40 202 5	59. 203 9	- 58.1 412	Aniso tropic Rock	120	39	86. 361 4	119. 269 1	0.03 4812 1	0 0.03 4812 1	139. 16 5	139. 16 5
10	0.38 665 4	64. 685 4	- 59.2 774	Aniso tropic Rock	120	39	97. 388 2	130. 22 4	12. 625 1	0 625	176. 49 1	176. 49 1	10	0.67 993 5	113. 66 1	- 58.6 901	Aniso tropic Rock	120	39	91. 207 9	126. 49 4	8.01 885	0 8.01 885	157. 97 1	157. 97 1
11	0.38 665 3	70. 360 6	- 59.1 415	Aniso tropic Rock	120	39	102. 31 1	136. 80 6	20. 753 4	0 753	191. 98 4	191. 98 4	11	0.67 993 5	130. 96 8	- 59.0 897	Aniso tropic Rock	120	39	97. 614 1	135. 37 904	18.9 904	0 18.9 904	182. 02 5	182. 02 5
12	0.38 665 3	76. 019 3	- 59.1 415	Aniso tropic Rock	120	39	106. 95 4	143. 01 5	28. 421 1	0 421	207. 42 3	207. 42 3	12	0.49 568 4	106. 20 1	- 57.6 517	Aniso tropic Rock	120	39	106. 52 6	147. 6 6	34.2 638	0 34.2 638	202. 46 7	202. 46 7
13	0.58 338 8	124. 889 4	- 57.2 18	Aniso tropic Rock	120	39	116. 74 3	156. 10 4	44. 585 1	0 585	225. 86 1	225. 86 1	13	0.49 568 4	114. 91 8	- 57.6 517	Aniso tropic Rock	120	39	111. 58 1	154. 9 114	42.9 114	0 42.9 114	219. 08 7	219. 08 7
14	0.68 991 6	162. 93 1	- 57.0 308	Aniso tropic Rock	120	39	124. 44 3	166. 40 1	57. 300 3	0 300	249. 15 2	249. 15 2	14	0.49 568 4	123. 63 6	- 57.6 517	Aniso tropic Rock	120	39	116. 1 2	161. 5 589	51.5 589	0 51.5 589	235. 70 7	235. 70 7
15	0.68 991 9	179. 37 7	- 57.0 308	Aniso tropic Rock	120	39	132. 32 2	176. 93 6	70. 305 6	0 305	274. 3 3	274. 3 3	15	0.49 568 4	132. 35 4	- 57.6 517	Aniso tropic Rock	120	39	121. 6 4	168. 4 066	60.2 066	0 60.2 066	252. 32 7	252. 32 7
16	0.68 991 9	195. 82 3	- 57.0 308	Aniso tropic Rock	120	39	140. 19 6	187. 46 4	83. 310 9	0 310	299. 44 9	299. 44 9	16	0.45 212 3	128. 21 9	- 56.9 593	Aniso tropic Rock	120	39	128. 0 2	177. 1 189	71.1 189	0 71.1 189	267. 99 5	267. 99 5
17	0.51 370 2	156. 48 7	- 57.0 308	Aniso tropic Rock	120	39	147. 06 6	196. 65 5	94. 655 5	0 655	321. 38 5	321. 38 5	17	0.45 212 3	135. 26 4	- 56.9 593	Aniso tropic Rock	120	39	132. 5 1	183. 8 739	78.8 739	0 78.8 739	282. 71 2	282. 71 2
18	0.51 370 2	165. 60 5	- 57.0 308	Aniso tropic Rock	120	39	152. 93 2	204. 49 9	104. 33 9	0 33	340. 10 8	340. 10 8	18	0.45 212 3	142. 30 1	- 56.9 593	Aniso tropic Rock	120	39	137. 9 1	190. 8 1	86.6 289	0 86.6 289	297. 42 9	297. 42 9
19	0.51 370 4	174. 72 3	- 57.0 308	Aniso tropic Rock	120	39	158. 79 5	212. 33 4	114. 02 2	0 114	358. 83 2	358. 83 2	19	0.45 212 3	149. 34 2	- 56.9 593	Aniso tropic Rock	120	39	141. 6 1	196. 1 839	94.3 839	0 94.3 839	312. 14 6	312. 14 6
20	0.51 370 4	183. 84 4	- 57.0 308	Aniso tropic Rock	120	39	164. 65 9	220. 17 5	123. 70 7	0 70	377. 55 7	377. 55 7	20	0.45 212 3	156. 38 3	- 56.9 593	Aniso tropic Rock	120	39	146. 4 1	202. 4 139	102. 139	0 102. 139	326. 86 2	326. 86 2
21	0.39 934 4	149. 21 3	- 57.0 308	Aniso tropic Rock	120	39	169. 87 4	227. 14 2	132. 31 2	0 132	394. 19 2	394. 19 2	21	0.45 212 3	163. 42 4	- 56.9 593	Aniso tropic Rock	120	39	150. 6 2	208. 9 894	109. 894	0 109. 894	341. 57 9	341. 57 9
22	0.39 934 4	154. 72 3	- 57.0 308	Aniso tropic Rock	120	39	174. 42 9	233. 24 9	139. 84 3	0 139	408. 75 3	408. 75 3	22	0.42 643 4	160. 37 4	- 55.2 76	Aniso tropic Rock	120	39	159. 9 9	221. 9 9	125. 9 9	0 125. 9 9	355. 40 1	355. 40 1

c Rock															c Rock																	
23	0.39	160	-	Aniso	tropi	c	120	39	178	239	147	0	147	423	423	23	0.42	166	-	Aniso	tropi	c	120	39	163	227	132.	0	132.	368	368	
934	.23	57.0			tropi	c			.98	.33	.36		.36	.31	.31	643	.20	55.2														
6	3	308							8	6	8					8	76															
24	0.39	165	-	Aniso	tropi	c	120	39	183	245	154	0	154	437	437	24	0.42	172	-	Aniso	tropi	c	120	39	167	231	138.	0	138.	381	381	
934	.74	57.0			tropi	c			.54	.43	.89		.89	.86	.86	643	.06	55.4														
6	3	308							7	2	5					5	619															
25	0.42	183	-	Aniso	tropi	c	120	39	188	251	162	0	162	452	452	25	0.42	177	-	Aniso	tropi	c	120	39	171	237	145.	0	145.	394	394	
647	.08	57.0			tropi	c			.26	.74	.68		.68	.91	.91	643	.94	55.4														
3	6	296							5		6		6	7	7	3	619															
26	0.42	189	-	Aniso	tropi	c	120	39	194	259	172	0	172	472	472	26	0.42	183	-	Aniso	tropi	c	120	39	176	244	153.	0	153.	407	407	
647	.37	57.0			tropi	c			.37	.91	.77		.77	.42	.42	3	.78	55.1														
3	296								6	2	6		6	8	8	6	651															
27	0.42	195	-	Aniso	tropi	c	120	39	198	265	179	0	179	483	483	27	0.42	189	-	Aniso	tropi	c	120	39	181	251	162.	0	162.	422	422	
646	.64	56.9			tropi	c			.25	.10	.18		.18	.98	.98	9	.59	55.1														
9	2	577							7	1	5		5	1	1	3	651															
28	0.42	201	-	Aniso	tropi	c	120	39	203	271	187	0	187	499	499	28	0.53	247	-	Aniso	tropi	c	120	39	187	260	173.	0	173.	434	434	
646	.90	56.9			tropi	c			.11	.6	.21		.21	.47	.47	9	.62	54.2														
9	6	577							7							5	606															
29	0.66	326	-	Aniso	tropi	c	120	39	209	279	197	0	197	519	519	29	0.53	256	-	Aniso	tropi	c	120	39	192	267	182.	0	182.	450	450	
305	.35	56.9			tropi	c			.38	.97	.55		.55	.26	.26	6	.54	54.2														
6	1	427							5	3			3	6	6	5	3	606														
30	0.66	318	-	Aniso	tropi	c	120	39	208	278	195	0	195	507	507	30	0.53	265	-	Aniso	tropi	c	120	39	197	274	190.	0	190.	465	465	
304	.78	56.1			tropi	c			.43	.70	.98		.98	.23	.23	7	.57	54.3														
7	3	912							1	5	5		5	1	1	7	239															
31	0.66	245	-	Aniso	tropi	c	120	39	190	255	166	0	166	389	389	31	0.53	263	-	Aniso	tropi	c	120	39	196	273	188.	0	188.	463	463	
301	.07	49.4			tropi	c			.71	.02	.73		.73	.97	.97	4	.98	54.3														
4	9	921							8	1	7		7	7	7	5	239															
32	0.66	245	-	Aniso	tropi	c	120	39	190	255	166	0	166	390	390	32	0.55	214	-	Aniso	tropi	c	120	39	187	260	172.	0	172.	364	364	
301	.17	49.4			tropi	c			.77	.09	.82		.82	.12	.12	4	.42	45.6														
4	1	921							2				2	2	2	5	502															
33	0.60	233	-	Aniso	tropi	c	120	39	200	267	182	0	182	409	409	33	0.55	196	-	Aniso	tropi	c	120	39	176	244	153.	0	153.	334	334	
151	.39	48.5			tropi	c			.25	.77	.48		.48	.34	.34	8	.35	45.6														
8	8	651							3	1			1	5	5	5	702															
34	0.60	243	-	Aniso	tropi	c	120	39	206	276	193	0	193	427	427	34	0.55	204	-	Aniso	tropi	c	120	39	181	251	162.	0	162.	347	347	
151	.63	48.5			tropi	c			.70	.40	.14		.14	.31	.31	8	.24	45.6														
8	8	651							8	2			7			7	502															
35	0.48	204	-	Aniso	tropi	c	120	39	218	292	212	0	212	443	443	35	0.55	212	-	Aniso	tropi	c	120	39	186	258	170.	0	170.	360	360	
740	.70	46.5			tropi	c			.50	.17	.62		.62	.08	.08	3	.14	45.6														
3	1	249							7	9	4		4	4	4	5	502															
36	0.48	210	-	Aniso	tropi	c	120	39	225	301	224	0	224	462	462	36	0.57	228	-	Aniso	tropi	c	120	39	189	263	177.	0	177.	374	374	
740	.96	46.5			tropi	c			.85	.99	.75		.75	.95	.95	1	.93	46.1														
3	5	249							1	9			5			5	092															
37	0.43	193	-	Aniso	tropi	c	0	40	240	321	382	0	382	465	465	37	0.57	237	-	Aniso	tropi	c	120	39	195	270	186.	0	186.	388	388	
963	.94	18.9			tropi	c			.21	.20	.8		.8	.41	.41	4	.59	46.1														
4	4	785							7	8			1			1	092															
38	0.43	195	-	Aniso	tropi	c	0	40	241	323	385	0	385	468	468	38	0.57	246	-	Aniso	tropi	c	120	39	202	281	199.	0	199.	410	410	
963	.10	18.9			tropi	c			.65	.12	.08		.08	.19	.19	4	.25	46.1														
4	2	785							1	6	7		7	2	2	5	092															
39	0.43	166	-	Aniso	tropi	c	0	40	205	275	327	0	327	398	398	39	0.57	254	-	Aniso	tropi	c	120	39	205	284	202.	0	202.	416	416	
963	.13	18.9			tropi	c			.76	.14	.90		.90	.66	.66	4	.20	46.1														
4	4	785							6	2	1		1	5	5	5	092															
40	0.43	119	-	Aniso	tropi	c	0	40	147	197	235	0	235	286	286	40	0.65	230	-	Aniso	tropi	c	120	39	166	230	274.	0	274.	331	331	
963	.47	18.9			tropi	c			.97	.86	.81		.81	.70	.70	4	.04	18.9														
4	2	785							6	8	1		1	1	1	1	092															
41	0.43	91.	-	Aniso	tropi	c	0	40	112	150	179	0	179	218	218	41	0.65	145	-	Aniso	tropi	c	120	39	104	145.	173.	0	173.	209	209	
963	.09	18.9			tropi	c			.82	.																						

Interslice Data

Rinforzi - Anisotropic_sismica+						Rinforzi - Anisotropic_sismica-					
• Global Minimum Query (bishop simplified) - Safety Factor: 1.33716						• Global Minimum Query (bishop simplified) - Safety Factor: 1.38687					
Slice Number	X coordinate [m]	Y coordinate - Bottom [m]	Interslice Normal Force [kN]	Interslice Shear Force [kN]	Interslice Force Angle [degrees]	Slice Number	X coordinate [m]	Y coordinate - Bottom [m]	Interslice Normal Force [kN]	Interslice Shear Force [kN]	Interslice Force Angle [degrees]
1	28.9225	57.1404	0	0	0	1	28.3682	57.2289	0	0	0
2	29.3073	56.268	-86.0381	0	0	2	28.9905	55.9644	-119.642	0	0
3	29.6922	55.5067	-154.668	0	0	3	29.3924	55.2288	-182.542	0	0
4	30.0769	54.7454	-218.124	0	0	4	29.7943	54.4931	-240.865	0	0
5	30.4617	53.9841	-276.41	0	0	5	30.1962	53.7574	-294.611	0	0
6	30.9238	53.1456	-333.957	0	0	6	30.5981	53.0217	-343.779	0	0
7	31.396	52.2893	-386.194	0	0	7	31.0002	52.3748	-382.818	0	0
8	31.8114	51.5467	-426.054	0	0	8	31.4022	51.7279	-418.292	0	0
9	32.2269	50.8042	-460.943	0	0	9	31.8042	51.081	-450.203	0	0
10	32.6136	50.1536	-487.157	0	0	10	32.2062	50.4341	-478.549	0	0
11	33.0002	49.503	-509.548	0	0	11	32.8862	49.3162	-519.212	0	0
12	33.3869	48.8559	-528.007	0	0	12	33.5661	48.1806	-549.741	0	0
13	33.7735	48.2087	-542.683	0	0	13	34.0618	47.3979	-564.155	0	0
14	34.3569	47.3029	-556.787	0	0	14	34.5575	46.6153	-573.354	0	0
15	35.0468	46.2392	-563.937	0	0	15	35.0532	45.8327	-577.338	0	0
16	35.7367	45.1756	-560.894	0	0	16	35.5489	45.05	-576.107	0	0
17	36.4267	44.112	-547.66	0	0	17	36.001	44.3549	-570.589	0	0
18	36.9404	43.32	-531.186	0	0	18	36.4531	43.6598	-560.96	0	0
19	37.4541	42.5281	-509.063	0	0	19	36.9052	42.9647	-547.221	0	0
20	37.9678	41.7361	-481.288	0	0	20	37.3573	42.2695	-529.37	0	0
21	38.4815	40.9441	-447.864	0	0	21	37.8095	41.5744	-507.409	0	0
22	38.8808	40.3285	-417.977	0	0	22	38.2616	40.8793	-481.337	0	0
23	39.2802	39.7128	-384.675	0	0	23	38.688	40.264	-454.917	0	0
24	39.6795	39.0971	-347.958	0	0	24	39.1144	39.6487	-425.291	0	0
25	40.0789	38.4815	-307.827	0	0	25	39.5409	39.0291	-392.189	0	0
26	40.5053	37.824	-261.201	0	0	26	39.9673	38.4095	-355.833	0	0
27	40.9318	37.1666	-219.456	0	0	27	40.3937	37.7968	-316.729	0	0
28	41.3583	36.5109	-165.199	0	0	28	40.8202	37.184	-280.679	0	0
29	41.7847	35.8553	-107.07	0	0	29	41.3588	36.4355	-225.019	0	0
30	42.4478	34.8365	-9.06333	0	0	30	41.8975	35.6869	-164.636	0	0
31	43.1108	33.8464	81.5341	0	0	31	42.4362	34.9366	-99.3441	0	0
32	43.7739	33.0703	111.2	0	0	32	42.9748	34.1864	-34.8433	0	0
33	44.4369	32.2942	140.908	0	0	33	43.5303	33.6181	-17.3517	0	0
34	45.0384	31.6128	170.244	0	0	34	44.0858	33.0499	-6.52105	0	0
35	45.6399	30.9313	204.079	0	0	35	44.6413	32.4816	7.21954	0	0
36	46.1273	30.4173	229.193	0	0	36	45.1968	31.9134	23.8701	0	0

37	46.6147	29.9032	240.193	0	0	37	45.7741	31.3132	45.479	0	0
38	47.0544	29.752	213.604	0	0	38	46.3515	30.7131	70.3532	0	0
39	47.494	29.6008	186.855	0	0	39	46.9289	30.1129	76.0798	0	0
40	47.9336	29.4496	164.079	0	0	40	47.5062	29.5127	107.214	0	0
41	48.3733	29.2984	147.699	0	0	41	48.1617	29.2872	85.3352	0	0
42	48.8129	29.1472	135.211	0	0	42	48.8171	29.0617	71.5423	0	0
43	49.2525	28.996	122.55	0	0	43	49.2541	28.9113	62.7245	0	0
44	49.912	28.7693	103.132	0	0	44	49.6911	28.761	53.7505	0	0
45	50.5714	28.5425	83.2017	0	0	45	50.128	28.6106	44.6203	0	0
46	51.0111	28.3913	69.6198	0	0	46	50.6784	28.4211	32.922	0	0
47	51.4507	28.2402	-9.63168	0	0	47	51.2288	28.2316	-49.0007	0	0
48	51.8904	28.089	-23.6694	0	0	48	51.7793	28.0421	-61.194	0	0
49	52.4006	27.9152	-40.6169	0	0	49	52.3297	27.8526	-73.6348	0	0
50	52.9109	27.7413	-53.8297	0	0	50	52.8801	27.6631	-83.9251	0	0
51	53.4211	27.5674	0	0	0	51	53.4305	27.4736	0	0	0

Entity Information

Group: Rinforzi

Shared Entities

Type	Coordinates	
	X	Y
External Boundary	83.4305	27.4736
	53.4305	27.4736
	52.4305	37.4736
	48.4305	37.4736
	47.4305	47.4736
	43.4305	47.4736
	42.6836	54.943
	-40.602	68.242
	-40.602	63.544
	-40.602	30.399
	-40.602	0
	83.4305	0
Material Boundary	83.4305	21.6141
	X Y	
	-40.602	63.544
	24.3473	51.8968
	43.4305	47.4736

Scenario-based Entities

Type	Coordinates	Anisotropic_sismica+	Anisotropic_sismica-
	X	Y	
Water Table	-40.602	30.399	Assigned to materials:
	83.4305	21.6141	Assigned to materials:
			 Anisotropic Rock
			 Anisotropic Rock